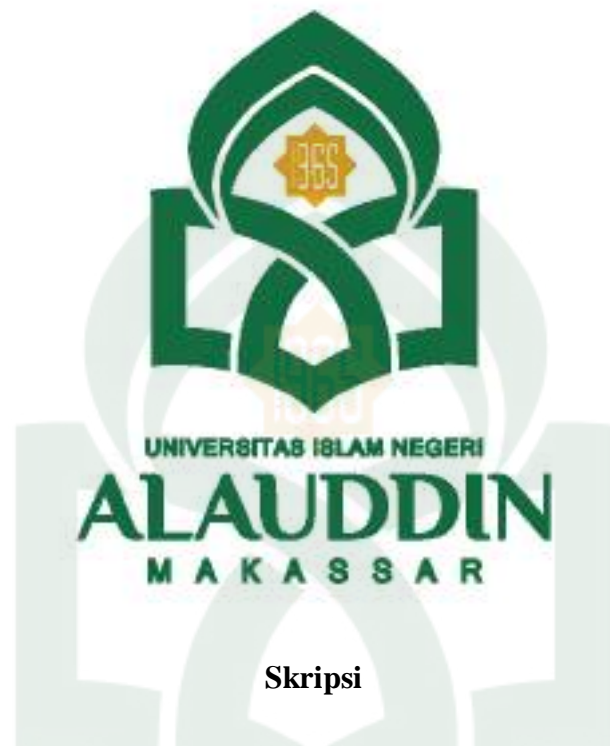


**PENGARUH KONSENTRASI LARUTAN *DYE* DAUN
TARUM (*INDIGOFERA TINCTORIA*) TERHADAP EFESIENSI
DYE SENSITIZED SOLAR CELL (DSSC)**



Skripsi

**Diajukan untuk Memenuhi Salah Satu Syarat Meraih Gelar
Sarjana Sains Jurusan Fisika pada Fakultas Sains dan Teknologi
UIN Alauddin Makassar**

Oleh:

PUTRI DAYANA MURSALIM

NIM : 60400115024

**FAKULTAS SAINS DAN TEKNOLOGI
UIN ALAUDDIN MAKASSAR**

2019

PERNYATAAN KEASLIAN SKRIPSI

Mahasiswa yang bertanda tangan di bawah ini :

Nama : Putri Dayana Mursalim
NIM : 60400115024
Tempat/Tgl.Lahir : Takkalasi, 09 Juni 1997
Jurusan : Fisika
Fakultas/Program : Sains dan Teknologi
Alamat : Jl. Kapasa Raya, Makassar
Judul Skripsi : Pengaruh Konsentrasi Larutan *Dye* Daun Tarum
(*Indigofera Tinctoria*) Terhadap Efisiensi *Dye Sensitized*
Solar Cell (DSSC)

Menyatakan dengan sesungguhnya dan penuh kesadaran bahwa skripsi ini benar adalah hasil karya sendiri. Jika dikemudian hari terbukti bahwa ia merupakan duplikat, tiruan, plagiat, atau dibuat oleh orang lain, sebagian atau seluruhnya, maka skripsi ini dan gelar yang diperoleh karenanya batal demi hukum.

Samata-Gowa, 01 April 2019

Penyusun,

Putri Dayana Mursalim

NIM. 60400115024

PENGESAHAN SKRIPSI

Skripsi yang berjudul "Pengaruh Konsentrasi Larutan *Dye* Daun Tarum (*Indigofera Tinctoria*) Terhadap Efisiensi *Dye Sensitized Solar Cell* (DSSC)" yang disusun oleh Putri Dayana Mursalim / 60400115024, Mahasiswa Jurusan Fisika pada Fakultas Sains dan Teknologi UIN Alauddin Makassar, telah diuji dan dipertahankan dalam sidang *munaqasyah* yang diselenggarakan pada hari Jum'at, 22 Maret 2019, dinyatakan telah dapat diterima sebagai salah satu syarat untuk meraih gelar sarjana dalam Ilmu Sains, Jurusan Fisika (dengan beberapa perbaikan).

Gowa, 22 Maret 2019 M

15 Rajab 1440 H

DEWAN PENGUJI

Ketua	: Dr. Wasilah, S.T., M.T	(.....)
Sekretaris	: Sahara, S.Si., M.Sc., Ph.D	(.....)
Munaqisy I	: Muh. Said L., S.Si., M.Pd	(.....)
Munaqisy II	: Dr. H. Muh. Sadik Sabry, M.Ag	(.....)
Pembimbing I	: Iswadi, S.Pd., M.Si	(.....)
Pembimbing II	: Hernawati, S.Pd., M.Pfis	(.....)

Diketahui Oleh:

Dekan Fakultas Sains dan Teknologi
UIN Alauddin Makassar



KATA PENGANTAR



Syukur Alhamdulillah atas segala limpahan karunia Allah *subhanahu wa ta'ala* yang telah menciptakan segala apa yang ada di muka bumi ini yang semuanya dapat dimanfaatkan, tiada satupun ciptaannya yang sia-sia. Hanya dengan izin-Nya Skripsi yang berjudul “**Pengaruh Konsentrasi Larutan Dye Daun Tarum (*Indigofera Tinctoria*) terhadap Efisiensi Dye Sensitized Solar Cell (DSSC)**” ini dapat terselesaikan. Salawat dan salam senantiasa tercurahkan kepada Rasulullah Muhammad ﷺ beserta keluarganya, para sahabatnya, dan seluruh ummatnya yang senantiasa istiqamah hingga akhir zaman.

Skripsi ini penulis persembahkan kepada kedua orang tua tercinta yang merupakan motivator dan pemberi semangat dalam menyelesaikan skripsi ini yaitu Ayahanda **Mursalim rahimahullah** yang telah bekerja keras hingga penulis dapat mengenyam pendidikan hingga bangku kuliah, mendampingi penulis hingga akhir hidupnya dan kepada Ibunda **Nurwanah** yang telah mendidik dan membesarkan penulis dengan penuh kasih sayang, tulus dan ikhlas. Karena Doa merekalah penulis senantiasa diberi kemudahan oleh Allah SWT. *Jazakumullahu Khairan Kastiira*. Kepada kedua adik penulis **Wahyu Cahyadi Mursalim** dan **Dini Angraeni Mursalim**, yang menjadi penyemangat dan selalu menghibur penulis.

Penulis ucapkan banyak terima kasih kepada Bapak **Iswadi, S.Pd., M.Si** yang telah melibatkan dan mengizinkan penulis ikut serta dalam penelitian DSSC

ini, juga selaku pembimbing I, yang telah meluangkan waktu, tenaga dan fikiran dalam memberikan bimbingan, mengarahkan, membagi ilmu, pengalaman serta memberi motivasi agar dapat menyelesaikan Skripsi ini dengan baik dan tepat waktu. Kepada Ibu **Hernawati, S.Pd., M.Pfis** selaku pembimbing II yang telah meluangkan waktu, tenaga dan fikiran, mengarahkan penulis tentang penulisan Skripsi yang baik dan benar. Juga kepada Ibu **Rahmaniah, S.Si., M.Si** selaku dosen pembimbing akademik yang senantiasa meluangkan waktunya, mengarahkan dan memberikan masukan-masukan dan motivasi yang membangun.

Penulis juga mengucapkan terima kasih kepada sahabat terkasih *Ukhtiy Israyanti, Nini Astuti, Nurul Fitriah Ahmad, dan Sri Astuti* yang telah mendampingi penulis dari awal perkuliahan hingga saat ini, selalu ada dalam suka dan duka, memberikan semangat.

Penulis menyadari bahwa dalam penyelesaian Skripsi ini tidak terlepas dari bantuan berbagai pihak, untuk itu pada kesempatan ini penulis juga mengucapkan ucapan terima kasih kepada:

1. Bapak **Prof. Dr. Musafir Pabbabari, M.Si** selaku Rektor Universitas Islam Negeri (UIN) Alauddin Makassar periode 2015-2020.
2. Bapak **Prof. Dr. H. Arifuddin, M.Ag** selaku Dekan Fakultas Sains Teknologi Universitas Islam Negeri (UIN) Alauddin Makassar periode 2015-2019.
3. Ibu **Sahara, S.Si., M.Sc., Ph.D** selaku ketua Jurusan Fisika Fakultas Sains dan Teknologi dan Bapak **Ihsan S.Pd., M.Si** selaku sekretaris Jurusan Fisika

Fakultas Sains dan Teknologi, yang telah membantu kami selama masa studi, memberikan motivasi dan masukan.

4. Bapak **Muh. Said L, S.Pd., M.Pd** selaku penguji I yang senantiasa memberikan saran dan masukan untuk perbaikan Skripsi ini, dan juga dorongan serta motivasi hingga dapat sampai ke tahap ini. Juga kepada bapak **Dr. H. Muh. Sadik Sabry, M.Ag** selaku penguji II.
5. Dosen pengajar Jurusan Fisika Fakultas Sains dan Teknologi, Ibu **Nurul Fuadi, S.Si., M.Si**, Ibu **Zri Selviani, S.Si., M.Sc**, Ibu **Ayusari Wahyuni, S.Si., M.Sc**, ibu **Ria Reski Hamzah, S.Pd. M.Si**, Ibu **Fitriyanti, S.Si., M.Sc**, dan dosen lainnya yang telah meluangkan waktu dan tenaga, serta membimbing dan membagi ilmu di bangku kuliah. Juga kepada ibu **Hadiningsih, SE** selaku staf administrasi Jurusan Fisika.
6. Bapak **Muhtar, S.T., M.T**, Bapak **Abdul Mun'im, S.T., M.T**, Bapak **Ahmad Yani S.Si**, dan Kak **Nurhaisah, S.Si**, sebagai laboran di Laboratorium Jurusan Fisika Fakultas Sains dan Teknologi yang telah membimbing selama praktikum.
7. Bapak dan Ibu Biro Akademik yang ada dalam lingkungan Fakultas Sains dan Teknologi yang selalu siap dan sabar melayani penulis dalam pengurusan berkas akademik.
8. Pak **Hendrik Wijaya** yang telah banyak berjasa kepada penulis dan banyak memberikan dukungan, baik dukungan moril maupun materil.
9. Terkhusus kepada Tim DSSC **Israyanti, Achmad Nasyori, Ilimi Wahyuni, Nurhamida, Erni** dan **Nurhidayah** yang telah memberikan dukungan,

tenaga, pikiran dan semangat serta telah menjadi patner kerja sama yang baik selama penelitian ini hingga penyusunan Skripsi.

10. Teman-teman **RES15TOR** (angkatan 2015) atas kebersamaannya selama 4 tahun ini, telah menjadi sahabat dan keluarga yang hangat, memberi banyak bantuan selama masa studi, selalu ada dalam suka maupun duka. Serta senior – senior jurusan Fisika angkatan 2010, 2011, **12ADIASI**, **ASAS 13LACK**, dan **INERS14** serta adik-adik **BI6 BANG**, **INTENS17AS**, dan **INH18ITOR**.
11. Teman-Teman KKN 59 **Dilla**, **Dinda**, **Kasma**, **Hadira** dan Keluarga besar Pandanga Dusun Tanapangkaya, Kec.Bontolempangan Kab.Gowa.

Sangat banyak orang yang berjasa kepada Penulis selama menempuh pendidikan di UIN Alauddin Makassar sehingga tidak sempat disebutkan namanya satu persatu. Penulis mengucapkan banyak terima kasih, semoga apa yang dilakukan bernilai ibadah disisi-Nya dan dibalas dengan yang lebih baik, *aamiin*.

Penulis menyadari bahwa Skripsi ini masih banyak kekurangan baik dari segi sistematika penulisan, maupun dari segi bahasa yang termuat di dalamnya. Oleh karena itu, kritik dan saran yang bersifat membangun senantiasa Penulis harapkan.

Makassar, 05 Februari 2019

Penyusun,

Putri DayanaMursalim
NIM.60400115024

DAFTAR ISI

HALAMAN JUDUL	i
PERNYATAAN KEASLIAN SKRIPSI.....	ii
PENGESAHAN SKRIPSI.....	Error! Bookmark not defined.
KATA PENGANTAR.....	iv
DAFTAR ISI.....	viii
DAFTAR GAMBAR.....	xi
DAFTAR TABEL.....	xiii
DAFTAR SIMBOL	xiv
ABSTRAK	xv
ABSTRACT	xvi
BAB I PENDAHULUAN.....	1
A. Latar Belakang.....	1
B. Rumusan Masalah	5
C. Tujuan Penelitian.....	5
D. Ruang Lingkup Penelitian	5
E. Manfaat Penelitian.....	6
BAB II TINJAUAN TEORITIS	7

A.	Sel Surya.....	7
B.	Dye Sensitized Solar Cell (DSSC)	9
C.	Performansi Sel Surya	16
D.	Spektrofotometri Ultraviolet - Visible (UV-Vis).....	18
E.	Tanaman Tarum (Indigofera Suffruticosa).....	20
BAB III METODE PENELITIAN		27
A.	Waktu dan Tempat Penelitian	27
B.	Alat dan Bahan	27
C.	Prosedur Penelitian.....	28
D.	Bagan Alir	35
E.	Jadwal Kegiatan.....	36
BAB IV HASIL DAN PEMBAHASAN.....		38
A.	Ekstraksi Sampel Dye Daun Tarum (I.Tinctoria).....	38
B.	Spektrum Serapan Panjang Gelombang Dye Daun Tarum	40
C.	Efisiensi DSSC	43
D.	Morfologi Elektroda TiO ₂	49
BAB V PENUTUP		51
a.	Kesimpulan	51
b.	Saran.....	51
DAFTAR PUSTAKA		53

BIOGRAFI PENULIS.....	56
LAMPIRAN –LAMPIRAN	
LAMPIRAN I. HASIL PENGUKURAN I-V & PERHITUNGAN.....	L.2-14
LAMPIRAN II. HASIL UJI UV-VIS.....	L.15-19
LAMPIRAN III. HASIL UJI SEM.....	L.20-21
LAMPIRAN IV.PERSURATAN.....	L.22-28
LAMPIRAN V. DOKUMENTASI GAMBAR.....	L.29-41

DAFTAR GAMBAR

No.	Keterangan Gambar	Halaman
2.1.	Konversi Radiasi Sinar Matahari Menjadi Listrik	9
2.2	Struktur Dye Sensitized Solar Cell (DSSC)	10
2.3.	Skema Komponen-komponen dalam Aplikasi DSSC	13
2.4	Struktur Kerja dan Prinsip Kerja DSSC	16
2.5	Karakteristik Kurva I-V pada Sel Surya	18
2.6	Skema Instrumen UV-Vis	20
2.7	Tanaman Tarum	22
3.1	Ekstrak Daun Tarum	29
3.2	Pasta TiO ₂	30
3.3	Kaca ITO dengan Lapisan TiO ₂	31
3.4	Elektroda Kerja	31
3.5	Elektroda Pembanding	32
3.6	Struktur DSSC & Foto Sel DSSC	33
3.7	Rangkaian DSSC	34
4.1	Ekstrak Kental <i>Dye</i> Daun Tarum	37
4.2	Hasil Pengenceran <i>Dye</i> dari Ekstrak Daun Tarum	38
4.3	Grafik hasil serapan UV-Vis larutan ekstrak daun tarum	39
4.4	Kurva J-V DSSC dengan Konsentrasi <i>dye</i> Daun Tarum 30%	42
4.5	Kurva J-V DSSC dengan Konsentrasi <i>dye</i> Daun Tarum 50%	43
4.6	Kurva J-V DSSC dengan Konsentrasi <i>dye</i> Daun Tarum 70%	44

4.7 Kurva J-V DSSC dengan Konsentrasi *dye* Daun Tarum 100% 45

4.8 Hasil Pengujian SEM (a) Perbesara 1000x (b) Perbesaran 5000x



DAFTAR TABEL

No.	Keterangan Gambar	Halaman
2.1	Skala Spektrum CahayaTampak	21
3.1	Perbandingan konsentrasi <i>dye</i> dan etanol	29
3.2	Hasil Pengamatan Pengujian UV-Vis	30
3.3	Hasil Pengamatan	34
3.4	Hasil Pengamatan Hasil Perhitungan Efisiensi DSSC menggunakan <i>Dye</i> Ekstrak DaunTarum	46

DAFTAR SIMBOL

Simbol	Keterangan	Satuan
J	Kerapatan Arus	mA/cm^2
I	Arus yang dihasilkan	mA
A	Luasan sel surya	cm^2
J_{maks}	Kerapatan arus maksimum	mA/cm^2
V_{maks}	Tegangan maksimum	V
P_{maks}	Daya maksimum	mW/cm^2
J_{SC}	Kerapatan arus saat kondisi <i>Short Circuit</i>	mA/cm^2
V_{OC}	Tegangan pada saat kondisi <i>Open Circuit</i>	V
P_{Out}	Daya yang dihasilkan sel	mW/cm^2
P_{In}	Daya yang diterima sel	W/cm^2
η	Efisiensi	%
FF	<i>Fill Factor</i>	-

ABSTRAK

NAMA : PUTRI DAYANA MURSALIM
NIM : 60400115024
JUDUL SKRIPSI : PENGARUH KONSENTRASI LARUTAN DYE DAUN
TARUM (INDIGOFERA TINCTORIA) TERHADAP
EFESIENSI DYE SENSITIZED SOLAR CELL (DSSC)

Dilakukan penelitian tentang sel surya tersensitasi zat pewarna, dengan memvariasikan konsentrasi *dye* ekstrak daun Tarum (*I. Tinctoria*) yang digunakan untuk membandingkan nilai efisiensinya. Dilakukan juga pengujian UV-Vis pada *dye* ekstrak daun Tarum untuk mengetahui besar panjang gelombang dan daya absorbansinya. Serta pengujian SEM untuk mengetahui morfologi elektroda TiO₂ dan bagaimana ikatan antara *dye* dengan TiO₂. *Dye* yang digunakan dibuat dalam empat variasi konsentrasi yaitu konsentrasi 30%, 50%, 70% dan 100%. Deposisi TiO₂ pada kaca ITO dibuat menggunakan metode *doctor blade* dengan area aktif sel 1 cm², perendaman *dye* dilakukan selama 24 jam. Berdasarkan hasil UV-Vis, *dye* daun memiliki spektrum serapan yang cukup lebar yaitu 314-784 nm, hal tersebut menunjukkan *dye* daun Tarum dapat bekerja pada cahaya tampak atau *visible* maupun *ultraviolet* (UV). Dari hasil pengukuran I-V dengan sumber cahaya matahari diperoleh efisiensi DSSC untuk *dye* dengan konsentrasi 30%, 50%, 70% dan 100% berturut-turut yaitu 0,047462%; 0,064838%; 0,368820% dan 0,089438%. Dapat disimpulkan penggunaan *dye* dengan konsentrasi 70% memiliki efisiensi tertinggi dibanding 30%, 50% dan 100%. Pengujian SEM dilakukan pada sel dengan efisiensi tertinggi, yaitu pada konsentrasi *dye* 70%, hasilnya menunjukkan persebaran *dye* pada TiO₂ cukup merata.

Kata Kunci: *Dye Sensitized Solar Cell* (DSSC), Daun Tarum, Konsentrasi *dye*, Efisiensi, UV-Vis

ABSTRACT

NAMA : PUTRI DAYANA MURSALIM
NIM : 60400115024
JUDUL SKRIPSI : THE EFFECT OF TARUM LEAVES (*INDIGOFERA TINCTORIA*) SOLUTION CONCENTRATION ON THE EFFICIENCY OF DYE SENSITIZED SOLAR CELL (DSSC)

Research on dye sensitized solar cells was carried out by varying the concentration of dye Tarum leaf extract (*I.Tinctoria*) which was used to compare the efficiency values. UV-Vis testing on dye extract of Tarum leaves was also carried out to determine the wavelength and absorbance power. And SEM testing to determine the morphology of TiO₂ electrodes and how the bond between dye and TiO₂. Dye used is made in four variations of concentration, namely concentrations of 30%, 50%, 70% and 100%. TiO₂ deposition on ITO glass was made using the doctor blade method with 1 cm² active cell area, dye immersion was carried out for 24 hours. Based on the UV-Vis results, dye leaves have a wide absorption spectrum of 314-784 nm, indicating that the Tarum leaf dye can work in visible or visible light and ultraviolet (UV). From the results of I-V measurements with solar sources obtained DSSC efficiency for dyes with concentrations of 30%, 50%, 70% and 100% respectively, 0.047462%; 0.064838%; 0.368820% and 0.089438%. It can be concluded that the use of dye with a concentration of 70% has the highest efficiency compared to 30%, 50% and 100%. SEM testing was carried out on cells with the highest efficiency, namely at the concentration of dye 70%, the results showed that the distribution of dye on TiO₂ was quite even.

Keywords: Dye Sensitized Solar Cell (DSSC), Tarum Leaves, Dye Concentration, Efficiency, UV-Vis

BAB I

PENDAHULUAN

A. Latar Belakang

Krisis energi merupakan tantangan besar. Secara sadar maupun tak sadar, manusia membutuhkan energi pada setiap aspek kehidupan. Saat ini Indonesia menjadi negara dengan konsumsi energi yang cukup tinggi di dunia. Berdasarkan data dari Direktorat Jenderal Energi Baru Terbarukan dan Konservasi Energi Kementerian ESDM, dalam beberapa tahun terakhir pertumbuhan konsumsi energi Indonesia mencapai 7% per tahun. Angka tersebut berada diatas pertumbuhan konsumsi energi dunia yaitu sebesar 2,6% per tahun (Rakhmat Setiawan, 2017).

Ketersediaan energi termasuk listrik merupakan elemen yang sangat penting dalam berbagai aspek kehidupan manusia, sekaligus sebagai kebutuhan mutlak untuk menunjang pembangunan nasional yang berkelanjutan. Hal ini menjadi tantangan besar bagi Indonesia ketika dihadapkan pada kondisi dimana sebagian besar penyediaannya masih bergantung pada energi fosil dan pengembangan sumber-sumber energi terbarukan masih sangat terbatas.

Pemanfaatan potensi energi terbarukan masih sangat kecil dan tersebar diseluruh wilayah Indonesia. Minimnya pemanfaatan energi terbarukan untuk ketenagaan listrik akibat masih tingginya harga produksi pembangkit energi terbarukan , sehingga sulit bersaing dengan pembangkit fosil terutama batu bara (Saleh, 2016)

Sementara permintaan energi semakin meningkat seiring dengan peningkatan jumlah penduduk dan pembangunan yang terus berkembang. Disamping itu ketidaksesuaian antara lokasi sumberdaya energi dengan daerah pengguna energi serta infrastruktur di berbagai tempat yang minim telah menyebabkan keterbatasan akses masyarakat terhadap energi. Selain itu, kesenjangan pendapatan masyarakat yang cukup tinggi semakin menambah kompleksitas permasalahan di sektor energi.

Ketergantungan Indonesia terhadap energi fosil terutama batu bara menimbulkan kekhawatiran mengingat energi tersebut bukan energi yang terbarukan. Dengan tingkat eksploitasi yang dilakukan saat ini tanpa penemuan cadangan baru yang signifikan serta kapasitas kilang yang cenderung stagnan, akan menyebabkan jumlah cadangannya di dalam negeri semakin menipis.

Pada tahun 2014, Kementerian ESDM mencatat bahwa energi fosil masih mendominasi dalam konsumsi energi primer (tanpa biomassa tradisional), dimana konsumsi minyak bumi 88 juta TOE atau 41,0% dari total konsumsi energi nasional, diikuti batu bara 69 juta TOE atau 32,3% gas 42 juta TOE atau 19,7%, biomassa modern 6 juta TOE atau 2,9% , tenaga air 5 juta TOE atau 2,5%, panas bumi 2 juta TOE atau 1,1% dan listrik impor 0,8 ribu TOE atau 0,4% (Saleh, 2016)

Demi mencukupi kebutuhan energi tersebut, dilakukan berbagai alternatif diantaranya pemanfaatan energi terbarukan seperti energi matahari, energi air, biomassa, panas bumi, energi angin dan energi samudera (Subodro,

2012). Salah satu pemanfaatan dari energi terbarukan yakni melalui solar cell atau sel surya yang merupakan alternatif yang paling potensial. Hal ini dikarenakan jumlah energi matahari yang sampai ke bumi sangat besar, yaitu sekitar 700 Megawatt setiap menitnya. Bila dikalkulasikan, jumlah ini 10.000 kali lebih besar dari total konsumsi energi dunia (Zamrani dan Gontjang, 2013).

Perkembangan yang menarik dari teknologi sel surya saat ini salah satunya adalah sel surya yang dikembangkan oleh Grätzel. Sel ini sering juga disebut dengan sel Grätzel atau *Dye Sensitized Solar Cells* (DSSC) atau sel surya berbasis pewarna tersensitisasi (SSPT). DSSC merupakan salah satu kandidat potensial sel surya generasi mendatang, hal ini dikarenakan tidak memerlukan material dengan kemurnian tinggi sehingga biaya proses produksinya yang relatif rendah. Berbeda dengan sel surya konvensional dimana semua proses melibatkan material silikon itu sendiri (Marthua dan Susanti, 2012). Pada dasarnya prinsip kerja DSSC merupakan suatu siklus transfer elektron oleh komponen-komponen DSSC.

Sel surya konvensional berupa sambungan p-n junction yang terbuat dari bahan semikonduktor seperti silikon, masih mahal untuk dikembangkan karena menggunakan teknologi yang canggih. Hingga Grätzel menemukan sel surya organik, DSSC sebagai sel surya dengan dye sensitizer dari bahan organik dapat dikembangkan berbiaya murah serta fabrikasi mudah (Ekasari dan Yudoyono, 2013).

Zat warna (*dye*) yang digunakan sebagai *sensitizer* pada DSSC dapat berupa pewarna alami maupun pewarna sintesis. Penelitian Kuang dkk (2007) menunjukkan efisiensi lebih dari 10,5 % dengan menggunakan *dye* sintesis yaitu

jenis *ruthenium complex* sedangkan penelitian Chien dan Hsu (2013) menunjukkan efisiensi yang lebih rendah yaitu 1,4 %. Walaupun penggunaan *dye* sintesis dalam DSSC memiliki efisiensi yang lebih tinggi dibanding *dye* alami tetapi biaya fabrikasinya jauh lebih mahal, sulit disintesis (Salafudin, Nurosyid, dan Kusumaningsih, 2017), mengandung logam berat dan tidak ramah lingkungan (Dahlan, Leng, dan Aziz, 2016). *Dye* alami atau pigmen tumbuhan sangat melimpah di alam dan ramah lingkungan, dapat diekstrak dari akar, batang, daun dan bunga tumbuhan (Triana et al. 2018).

Salah satu zat warna yang dapat dijadikan sebagai *sensitizer* yaitu zat warna dari daun Tarum. Daun Tarum (*Indigofera Tinctoria*) digunakan khusus oleh warga Kajang, Bulukumba sebagai bahan dasar pewarna kain atau benang yang akan digunakan untuk menenun (Awalia, Arifin, dan Kaswanto, 2016). Sehingga penelitian ini mencoba menggunakan zat warna pada daun Tarum sebagai *dye sensitizer* pada DSSC.

Penggunaan ekstrak *dye* dari tanaman sebagai *sensitizer* pada sel DSSC belum mencapai efisiensi yang optimum. Perbandingan volume larutan *dye* dengan pelarutnya (konsentrasi *dye*) mempengaruhi jumlah molekul *dye* teradsorb secara optimal dipermukaan partikel semikonduktor TiO_2 . Efisiensi konversi energi absorb cahaya tampak oleh device DSSC dipengaruhi oleh banyaknya molekul *dye* yang teradsorpsi oleh partikel semikonduktor TiO_2 . Pada penelitian Salafudin dkk (2017) memvariasikan konsentrasi *dye* bunga mawar, konsentrasi optimum yang didapatkan dengan perbandingan *dye* dengan pelarutnya sebesar 50%:50% dengan efisiensi 0,095%; penelitian Yulia Kirana

Lahsmin (2016) memvariasikan konsentrasi *dye* daun pacar kuku (*lawsonia inermis L*), konsentrasi optimum didapatkan pada perbandingan *dye* dengan pelarut sebesar 30%:70% dengan efesiensi 0,00337%. Pada penelitian ini dilakukan juga variasi konsentrasi *dye* dengan pelarutnya, untuk memperoleh konsentrasi optimum pada tanaman daun Tarum.

B. Rumusan Masalah

Rumusan masalah pada penelitian ini, yaitu :

1. Bagaimana nilai panjang gelombang dan nilai absorbansi pada ekstrak daun Tarum dengan konsentrasi yang berbeda?
2. Bagaimana nilai efesiensi DSSC menggunakan ekstrak daun Tarum sebagai *sensitizer* dengan konsentrasi yang berbeda-beda?

C. Tujuan Penelitian

Rumusan masalah pada penelitian ini, yaitu :

1. Untuk mengetahui hasil identifikasi panjang gelombang dan nilai absorbansi pada ekstrak daun Tarum dengan konsentrasi yang berbeda.
2. Untuk mengetahui nilai efesiensi DSSC menggunakan ekstrak daun Tarum sebagai *sensitizer* dengan konsentrasi yang berbeda-beda.

D. Ruang Lingkup Penelitian

Ruang Lingkup pada penelitian ini, yaitu:

1. Pewarna alami yang digunakan sebagai *dye* adalah pigmen warna daun dari ekstrak daun Tarum (*Indigofera Tinctoria*) dengan memvariasikan konsentrasi *dye* dengan pelarutnya sebesar 30%, 50%, 70% dan 100%
2. Pelarut yang digunakan saat mengekstrak yaitu etanol 96 %.

3. Substrat kaca yang digunakan yaitu jenis ITO (*Indium Tin Oxide*).
4. Luas area aktif (deposit) kaca ITO sebesar (1 x 1) cm.
5. Elektrolit yang digunakan yaitu *iodine* (I) dan *triiodide*(I₃⁻) sebagai pasangan redoks.
6. Katalis yang digunakan merupakan karbon dari asap pembakaran lilin.
7. Uji karakterisasi yang dilakukan yaitu uji UV-Vis dan SEM

E. Manfaat Penelitian

Dengan adanya penelitian ini maka akan memberikan manfaat, bagi:

1. Bagi Mahasiswa
 - a. Dapat memperluas wawasan dan menambah pengetahuan, serta mengaplikasikan dapat ilmu yang telah diperoleh.
 - b. Dapat dijadikan rujukan untuk diteliti lebih lanjut.
2. Bagi Akademis
 - a. Menghasilkan lulusan sarjana yang dapat mengaplikasikan ilmu sains dan Al Qur'an dalam kehidupan masyarakat.
3. Bagi Masyarakat
 - a. Dapat memperluas wawasan masyarakat mengenai pemanfaatan energi surya.
 - b. Dapat membantu meminimalkan penggunaan energi fosil.
 - c. Dapat mengaplikasikan penelitian ini dalam skala besar untuk membantu kebutuhan energi listrik.
 - d. Dapat lebih mengoptimalkan kegunaan daun Tarum terkhusus warga Kajang Bulukumba

BAB II

TINJAUAN TEORITIS

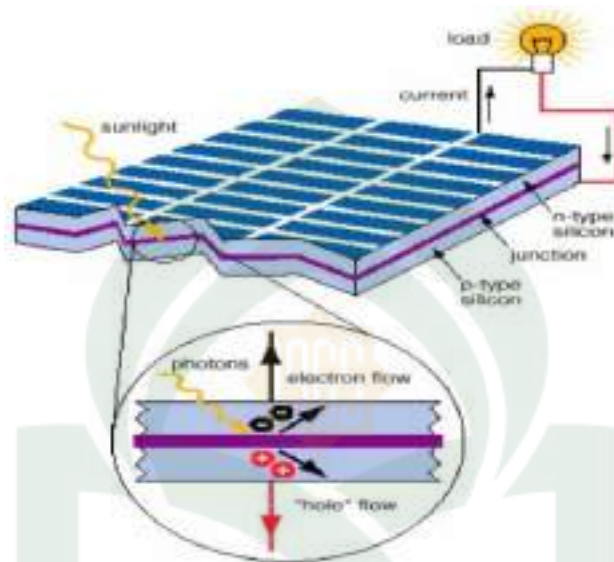
A. Sel Surya

Sel surya atau sel fotovoltaik adalah alat yang mengubah energi cahaya menjadi energi listrik menggunakan efek fotovoltaik. Pertama kali dibuat oleh Charles Frittsa pada tahun 1880 (Perlin, 2002). Dimana foton dari radiasi serap diubah menjadi energi listrik. Efek voltaik sendiri adalah suatu peristiwa terciptanya muatan listrik didalam bahan sebagai akibat penyerapan (absorpsi) cahaya dari bahan tersebut (Malvino, 1986).

Pada saat foton menumbuk sel fotovoltaik maka cahaya tersebut sebagian akan dipantulkan, diserap dan mungkin diteruskan (tergantung jenis sel). Foton yang terserap mentransfer energinya pada elektron yang terdapat pada atom sel fotovoltaik yang merupakan bahan semikonduktor (Teguh Wahyu Susanto, 2016).

Dengan energi yang dilepas oleh foton, elektron melepaskan diri dari ikatan bahan semikonduktor sehingga terbentuklah *hole* atau lubang pada bahan semikonduktor tersebut. Saat sel semikonduktor tersebut dihubungkan pada rangkaian luar, maka elektron tadi akan menyatu kembali dengan *hole*-nya sehingga timbullah arus listrik yang mengalir pada rangkaian (Teguh Wahyu Susanto, 2016).

Proses konversi dari radiasi matahari menjadi energi listrik terjadi secara langsung (tanpa adanya bagian yang bergerak) sebagaimana disajikan pada gambar berikut.

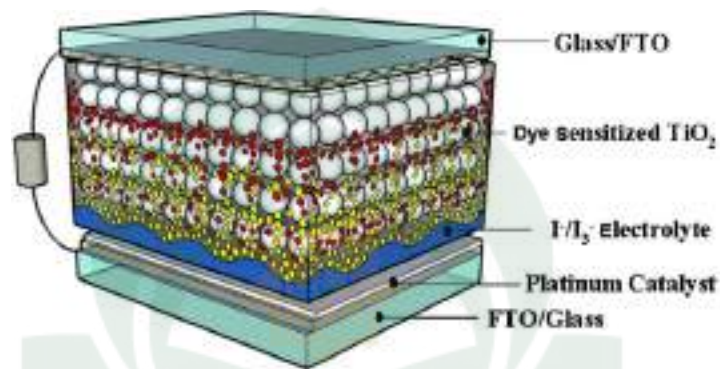


Gambar 2.1. Konversi radiasi sinar matahari menjadi listrik
(Sumber : www.google.com)

Secara garis besar sel surya dibagi menjadi dua bagian berdasarkan material yang digunakan untuk menyerap cahaya matahari, yaitu sel surya anorganik dan organik (Grätzel, 2003). Sel surya anorganik menggunakan material silikon sebagai penangkap cahaya matahari sedangkan sel surya organik menggunakan bahan dye dari ekstrak tumbuhan sebagai penangkap cahaya matahari. Adapun berdasarkan perkembangan teknologi saat ini dan bahan pembuatannya, sel surya dibedakan menjadi tiga generasi yaitu pertama, menggunakan bahan silikon kristal tunggal dan silikon poli kristal. Kedua, menggunakan teknologi lapisan tipis (*thin film*). Sedangkan yang ketiga merupakan pengembangan dari bahan polimer disebut juga sel surya organik atau

sl surya fotoelektrokimia, atau yang lebih dikenal dengan *Dye Sensitized Solar Cell* (DSSC).

B. *Dye Sensitized Solar Cell* (DSSC)



Gambar 2.2 Struktur *Dye Sensitized Solar Cell* (DSSC)
(Sumber: <https://schanze.chem.ufi.edu>)

Dye Sensitized Solar Cell (DSSC) atau Sel Surya Pewarna Tersensitasi (SSPT) merupakan salah satu jenis sel surya generasi ketiga berbasis zat warna (dye) sebagai penyerap foton (foton-sensitizer) (G. Calogero, et al., 2012) yang ditemukan oleh Gratzel dan Brian O'Regan pada tahun 1991 di École Polytechnique Fédérale de Lausanne, Swiss. Sehingga sel surya ini disebut juga sel Gratzel (Kumara and Prajitno, 2012). Sel surya tersensitisasi dye memiliki struktur seperti *sandwich*, yang tersusun atas dua elektroda yaitu elektroda TiO₂ tersensitisasi dye dan elektroda pembanding terkatalisasi yang mengapit elektrolit membentuk sistem sel fotoelektrokimia (Smestad dan Gratzel, 1998).

Perkembangan DSSC selama beberapa tahun secara rinci adalah sebagai berikut (Hardeli, 2011):

- a. Pada tahun 1991, "*Dye-sensitized Solar Cells*" ditemukan oleh *Michael Grätzel* dan *Brian O'Regan*, yang kemudian biasa disebut dengan sel *Grätzel*.
- b. Pada tahun 1995, pewarna yang digunakan sebagai *sensitized* pada sel percobaan hanya untuk frekuensi tinggi dari spektrum cahaya (cahaya biru dan sinar UV).
- c. Pada tahun 1999, diperkenalkan versi baru dengan respon frekuensi tinggi yang efisien, hingga dengan panjang gelombang merah (infra-merah). Pewarna yang digunakan dalam sel berwarna coklat-hitam pekat, pewarna hitam, dengan efisiensi hingga 90%. Namun mudah rusak pada intensitas cahaya matahari yang tinggi.
- d. Ditemukan pewarna baru yang memiliki berbagai sifat khusus, termasuk *1-ethyl-3-methylimidazolium tetrocyanoborate* merupakan suhu yang stabil, dan tembaga-diselenium (Cu (In, Ga) Se₂) yang dapat memberikan peningkatan efisiensi konversi.
- e. Para peneliti mencari penggunaan titik-titik kuantum untuk mengubah cahaya energi tinggi menjadi beberapa elektron dengan menggunakan *solid-state* elektrolit untuk mendapatkan respon suhu yang lebih baik. Memodifikasidoping TiO₂ untuk dicocokkan dengan elektrolit yang digunakan.
- f. Penggunaan nanopartikel TiO₂ pada *dye-sensitized solar cell* memberikan efisiensi lebih dari 10 %. Molekul-molekul *dye* terabsorpsi ke permukaan

TiO₂nanoparticle sinter. Cahaya foton ditampung oleh *dye* kemudian elektrondiinjeksikan ke TiO₂ untuk mencapai elektroda.

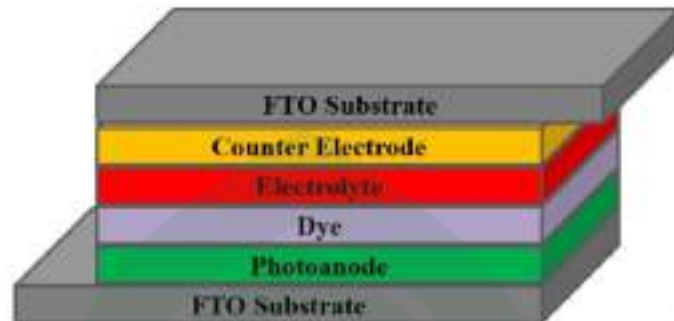
- g. Pada tahun 2004, peneliti dari *University of California* di Santa Barbara menggambarkan kinerja dan desain oksida sel surya *dye-sensitized nanowire* berbasis seng. *Nanowires* mengaktifkan jalur konduksi elektron antara substrat dan titik *photogeneration* untuk menghasilkan *transport* elektron yang lebih tinggi dibandingkan dengan lapisan nanopartikel sinter. Perangkat memiliki efisiensi kolektor cahaya di bawah 10 %, menunjukkan bahwa efisiensi dan kepadatan diperkuat oleh peningkatan luas permukaan *nanowire*.

Sebagian besar penelitian DSSC difokuskan pada peningkatan absorbansi spektral dengan membuat modifikasi *dye*, meningkatkan lubang transportasi, penggantian cairan elektrolit dengan menggunakan polimer atau padatan ionik, dan meningkatkan transpor elektron menggunakan alternatif struktur *core-shell* atau celah pita lebar bahan semikonduktor (Soutter, 2012).

1. Struktur DSSC

Dye Sensitized Solar Cell (DSSC) tersusun atas tiga komponen utama yaitu elektroda kerja (*working electrode*), larutan elektrolit dan elektroda pembanding (*counter electrode*) (Grätzel, 2003). Elektroda kerja terdiri dari substrat kaca, seperti *Indium Tin Oxide* (ITO), lapisan semikonduktor nano kristalin TiO₂ dan lapisan aktif *dye* alami. Elektrolit dapat berupa elektrolit *iodin triiodida* dengan pasangan redoks (I/I₃⁻). Elektroda pembanding terdiri dari

substrat kaca yang dilapisi misalnya lapisan karbon/grafit (Kyaw et al. 2012) atau platinum (Adachi and Hoshi 2013).



Gambar 2.3. Skema komponen-komponen dalam aplikasi DSSC (Sumber: Suriani et al. 2018)

a. Substrat

Substrat yang digunakan pada DSSC yaitu jenis TCO (*Transparent Conductive Oxide*) yang merupakan kaca konduktif transparan (Kumara and Prajitno 2012) yang berfungsi sebagai media transpor elektron atau tempat muatan mengalir. Substrat yang umum digunakan adalah kaca *Indium Tin Oxide* (ITO), *Flourine-dopened Tin Oxide* (SnF atau FTO).

Sampai saat ini, kaca transparan berkonduktivitas seperti ITO dan FTO dengan ketebalan sekitar 2 mm merupakan substrat paling ideal yang memberikan efisiensi sel surya relatif konstan dan realibel (Rachmawati Ningsih, 2012).

b. Karakteristik TiO_2

TiO_2 merupakan bahan smikonduktor dengan *band gap* lebar, dengan selisih *band gap* yaitu 3,2 eV (energi selisih) dengan rentang -12 eV – 2,0 eV (Marthua, Nadeak dan Susanti, 2012). TiO_2 bersifat inert, stabil terhadap

fotokorosi, korosi oleh bahan kimia, memiliki transmitansi optik yang baik (Kumara and Prajitno, 2012), daya oksidasi yang kuat dan selektivitas radoks (Ekasari dan Yudoyono, 2013) Lapisan TiO₂ dalam DSSC bertindak sebagai akseptor atau kolektor elektron yang ditransfer dari dye yang teroksidasi (Rachmawati Ningsih, 2012).

Umumnya kristal TiO₂ memiliki tiga fasa yaitu *rutile*, *anatase* dan *brookit*. Untuk aplikasi sel surya DSSC fase kristal yang umum digunakan adalah fase anatase (Longo dan Pauli, 2012). Namun ada juga yang menggunakan fase campuran antara anatase dan rutile (J. Jitputti, et al).

Kekurangan dari TiO₂ yaitu hanya mampu menyerap sinar ultraviolet (UV) (350-380 nm) sehingga untuk meningkatkan serapan spektra TiO₂ di daerah tampak (*visible*), dibutuhkan lapisan zat warna yang dapat menyerap cahaya tampak yaitu pewarna yang tersensitasi (*dye*). Dengan cara lapisan TiO₂ diendapkan dalam perendaman zat warna (*dye*).

c. Dye Sensitizer

Dalam DSSC *dye* bertindak sebagai donor elektron dan berperan sebagai pompa foto elektron (Rachmawati Ningsih 2012). Penggunaan bahan *dye* dapat membantu memperluas spektrum penyerapan, tidak hanya pada panjang gelombang sinar ultraviolet tapi juga pada cahaya tampak, cocok dengan *band gap* pita energi TiO₂ (Nurhidayah et al. 2017) (Marthua dan Susanti, 2012).

Zat warna (*dye*) yang digunakan sebagai *sensitizer* pada DSSC dapat berupa pewarna alami maupun pewarna sintesis. Penelitian Kuang dkk (2007)

menunjukkan efisiensi lebih dari 10,5 % dengan menggunakan *dye* sintesis yaitu jenis *ruthenium complex* sedangkan penelitian Chien dan Hsu (2013) menunjukkan efisiensi yang lebih rendah yaitu 1,4 %. Walaupun penggunaan *dye* sintesis dalam DSSC memiliki efisiensi yang lebih tinggi dibanding *dye* alami tetapi biaya fabrikasinya jauh lebih mahal, sulit disintesis, mengandung logam berat dan tidak ramah lingkungan. *Dye* alami atau pigmen tumbuhan sangat melimpah di alam dan ramah lingkungan, dapat diekstrak dari akar, batang, daun dan bunga tumbuhan. Zat-zat yang dijadikan sebagai sensitizer yaitu klorofil, betakaroten, antosianin, tanin, kurkumin, dan sebagainya pada tumbuhan (Dahlan et al. 2016).

d. Elektrolit

Elektrolit bertindak sebagai mediator elektron sehingga dapat terjadi proses siklus dalam sel. Elektrolit yang digunakan pada DSSC terdiri dari iodine (I) dan triiodide (I_3^-) sebagai pasangan redoks dalam pelarut. Karakteristik ideal dari pasangan redoks untuk elektrolit DSSC yaitu, potensial redoksnya secara termodinamika berlangsung sesuai dengan potensial redoks dari *dye* untuk tegangan sel yang maksimal, memiliki kestabilan yang tinggi baik dalam bentuk tereduksi dan teroksidasi dan inert terhadap komponen lain pada DSSC (Zhang, 2008).

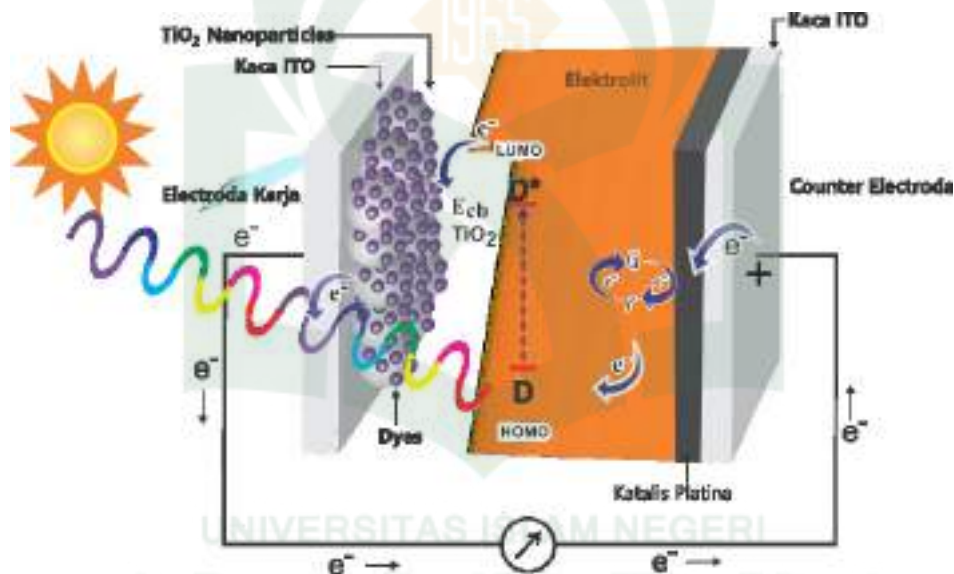
e. Katalis Conter Elektrode

Katalis digunakan untuk mempercepat kinetika reaksi proses reduksi triiodide pada Substrat. Platina merupakan katalis *counter elektrode* yang paling baik dan juga sangat efisien dalam aplikasi DSSC, karena harganya

sangat mahal karbon katalis merupakan alternatif lain untuk mereduksi triiodide. Kay & Gratzel mengembangkan desain DSSC dengan menggunakan counter-elektroda karbon sebagai lapisan katalis. Karena luas permukaannya yang tinggi, counter-elektroda karbon mempunyai keaktifan reduksi triiodide yang menyerupai elektroda platina (Kay dan Gratzel, 1996).

2. Prinsip Kerja DSSC

Prinsip kerja DSSC (Hardali et al. 2013) merupakan reaksi dari transfer elektron seperti yang terlihat pada gambar berikut.



Gambar 2.4 Struktur Kerja dan Prinsip Kerja DSSC
(Sumber: www.google.com)

Elektrolit yang digunakan pada DSSC terdiri dari *iodida* (I^-) dan *triiodida* (I_3^-) sebagai pasangan redoks dalam pelarut.

Proses pertama, saat foton dari sinar matahari mengenai elektroda kerja DSSC, energi foton tersebut diserap oleh *dye* yang melekat pada permukaan partikel TiO_2 . Sehingga elektron pada *dye* memiliki cukup energi untuk dapat tereksitasi



Proses kedua, elektron yang tereksitasi (D^*) tersebut terinjeksi menuju pita konduksi (E_{CB}) TiO_2 sehingga molekul dye yang ditinggalkan kemudian dalam keadaan teroksidasi (D^+).



Dengan adanya donor elektron oleh elektrolit (I^-) maka molekul *dye* kembali ke keadaan awalnya (*ground state*) dan mencegah penangkapan kembali elektron oleh *dye* yang teroksidasi



Proses ketiga, setelah elektron mencapai elektroda ITO, elektron mengalir menuju *counter-elektrode* melalui rangkaian eksternal. Proses selanjutnya, dengan adanya katalis pada *counter-elektrode*, elektron diterima oleh elektrolit sehingga *hole* yang terbentuk pada elektrolit (I_3^-) akibat donor elektron pada proses sebelumnya, berekombinasi dengan elektron membentuk iodida (I^-).

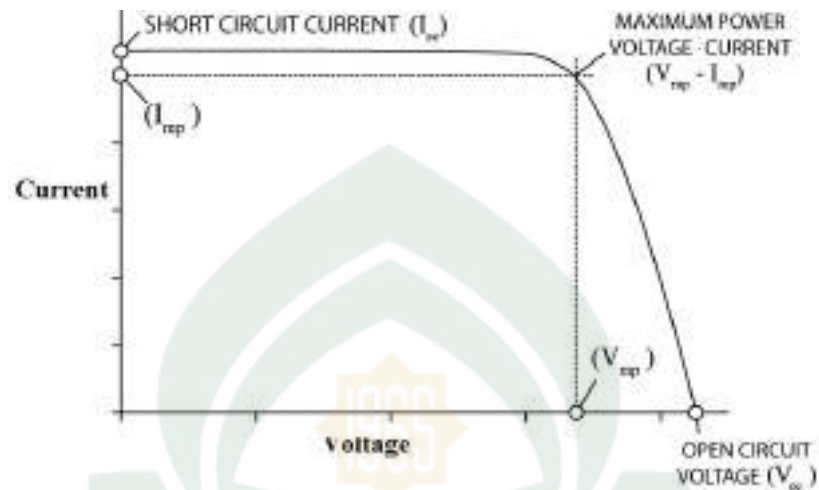


Proses terakhir, iodida ini digunakan untuk mendonor elektron kepada *dye* yang teroksidasi, sehingga terbentuk suatu siklus transport elektron. Dengan siklus ini terjadi konversi langsung foton dari sinar matahari menjadi energi listrik (Kumara and Prajitno 2012).

C. Performansi Sel Surya

Daya listrik yang dihasilkan sel surya ketika mendapat cahaya diperoleh dari kemampuan perangkat sel surya tersebut untuk memproduksi tegangan dan

arus. Kemampuan ini direpresentasikan dalam kurva arus tegangan (I-V) pada Gambar 2.4 berikut



Gambar 2.5 Karakteristik Kurva I-V pada Sel Surya
(Sumber: Martin Green,1982)

Ketika sel dalam kondisi short circuit, maka akan dihasilkan juga arus maksimum atau arus short circuit (I_{sc}), sedangkan pada kondisi open circuit tidak ada arus yang dapat mengalir sehingga tegangannya bernilai maksimum, tegangan maksimum tersebut disebut tegangan open-circuit (V_{oc}). Titik pada kurva I-V yang menghasilkan arus dan tegangan maksimum disebut titik daya maksimum (MPP). Karakteristik penting lainnya dari sel surya yaitu fill factor (FF), perhitungan nilai FF menggunakan persamaan berikut:

$$FF = \frac{V_{max}I_{max}}{V_{oc}I_{sc}} \quad (2.5)$$

Daya maksimum sel surya dihitung dengan memasukkan persamaan FF sebagai berikut

$$P_{max} = V_{max}I_{max} = V_{oc}I_{sc} FF \quad (2.6)$$

Sehingga efisiensi sel surya yang didefinisikan sebagai perbandingan antara daya maksimum sel surya (P_{max}) dengan daya intensitas cahaya matahari (P_{cahaya}) :

$$\eta = \frac{P_{max}}{P_{cahaya}} \times 100\% \quad (2.7)$$

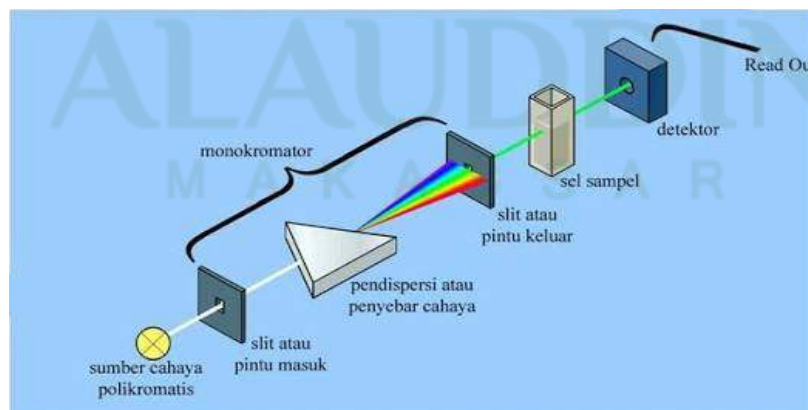
Nilai efisiensi ini yang menjadi ukuran global dalam menentukan kualitas performansi sel surya. Efisiensi dari sel surya tergantung pada temperatur dari sel dan yang lebih penting lagi adalah kualitas iluminasi. Misalnya total intensitas cahaya dan intensitas spektrum yang terdistribusi. Oleh karena itu, standar kondisi pengukuran harus dikembangkan sejalan dengan pengujian sel surya di laboratorium. Kondisi standar yang telah digunakan untuk menguji solar sel dengan intensitas cahaya 1000 W/m², distribusi spektrum dari pancaran matahari seperti Gambar 2.5, dan temperatur sel 25°C. Daya yang dikeluarkan solar cell pada kondisi ini adalah daya normal dari sel, atau modul dan dicatat sebagai puncak daya (peak watt), W_p (Martin Green, 1982) .

D. Spektrofotometri Ultraviolet - Visible (UV-Vis)

Spektrofotometri serap merupakan pengukuran interaksi antara radiasi elektromagnetik panjang gelombang tertentu yang sempit dan mendekati monokromatik, dengan molekul atau atom dari suatu zat kimia. Hal tersebut didasarkan bahwa molekul selalu mengabsorpsi cahaya elektromagnetik jika frekuensi cahaya tersebut sama dengan frekuensi getaran dari molekul tersebut. Elektron yang terikat dan elektron yang tidak terikat akan tereksitasi pada suatu

daerah frekuensi, yang sesuai dengan cahaya ultraviolet dan cahaya tampak (UV-Vis) (Roth, H.J., et.al 1995).

Spektrum absorpsi daerah ini adalah sekitar 220 nm sampai 800 nm dan dinyatakan sebagai spektrum elektron. Suatu spektrum ultraviolet meliputi daerah bagian ultraviolet (190-380 nm) spektrum *visible* (Vis) bagian sinar tampak (380-780 nm) (Sastrohamidjojo, 1991) (Roth,H.J.,et.al 1995). Prinsip kerja spektrofotometri UV-Vis yaitu mengukur jumlah cahaya yang diabsorpsi atau ditransmisikan oleh molekul-molekul dalam larutan. Ketika panjang gelombang cahaya ditransmisikan melalui larutan sebagian energi cahaya tersebut akan diserap. Besarnya kemampuan molekul-molekul zat terlarut untuk mengabsorpsi cahaya pada panjang gelombang tertentu dikenal dengan istilah absorbansi (A), yang setara dengan nilai konsentrasi larutan tersebut dan panjang berkas cahaya yang dilalui (biasanya 1 cm dalam spektrofotometri) ke suatu point dimana persentase jumlah cahaya yang ditransmisikan atau diabsorpsi diukur dengan phototube (Seran, 2011).



Gambar 2.6 Skema Instrument UV-Vis
(Sumber: <https://www.slideshere.net>)

Cahaya yang diserap oleh suatu zat berbeda dengan cahaya yang ditangkap oleh mata manusia. Cahaya yang tampak atau cahaya yang dilihat dalam kehidupan sehari-hari disebut warna komplementer, misalnya suatu zat akan berwarna orange bila menyerap warna biru dari spektrum sinar tampak dan suatu zat akan berwarna hitam bila menyerap semua warna yang terdapat pada spektrum sinar tampak. Untuk lebih jelasnya perhatikan tabel 2.1

Tabel 2.1 Skala Spektrum Cahaya Tampak

Panjang Gelombang (nm)	Warna-warna yang diserap	Warna komplementer (warna yang terlihat)
400 – 435	Ungu	Hijau kekuningan
435 – 480	Biru	Kuning
480 – 490	Biru kehijauan	Jingga
490 – 500	Hijau Kebiruan	Merah
500 – 560	Hijau	Ungu Kemerahan
560 – 580	Hijau kekuningan	Ungu
580 – 595	Kuning	Biru
595 – 610	Jingga	Biru kehijauan
610 – 800	Merah	Hijau kebiruan

(Sumber: Seran,2011).

E. Tanaman Tarum (*Indigofera Suffruticosa*)

Klasifikasi taksonomi dari tanaman tarum sebagai berikut:

Kingdom : *Plantae*

Order : *Fabales*

Family : *Fabaceae*

Genus : *Indigofera*

Species : *I. tinctoria*

Binomial name: Indigofera tinctoria
(Sumber: Anon n.d.)



Gambar 2.6 : Tanaman Tarum (*Indigofera Tinctoria*)

Indigofera dalam bahasa latin berarti warna indigo yang menghasilkan warna biru alami dari organ daun dan batang. Marga Indigofera mempunyai jumlah jenis sangat besar dan tersebar diseluruh wilayah tropik dan subtropik. Beberapa jenis Indigofera merupakan tumbuhan asli Indonesia yang ditemukan di Jawa dengan nama tom (Jawa) dan tarum (Sunda) (Muzayyinah, 2012).

Pigmen warna yang ditimbulkannya dikelompokkan ke dalam pewarna lemak karena ditimbulkan kembali pada serat melalui proses redoks, pewarna ini seringkali memperlihatkan kekekalan yang istimewa terhadap cahaya dan pencucian. Tanaman nila (*indigofera*) dimanfaatkan secara luas sebagai sumber

pewarna biru (Adalina, dkk 2010). Tanaman indigofera mengandung glukosida indikan. Setelah tanaman ini direndam di dalam air, proses hidrolisis oleh enzim akan mengubah indikan menjadi indoksil dan glukosa. Indoksil dapat dioksidasi menjadi tarum biru (Handayani P.A 2013) (Muzayyina, 2012) (Prima dan A.Amar, 2013). Diakui pula bahwa ekstrak *I. tinctoria* mengandung senyawa bioaktif flavonoid, saponin, tannin, steroid, terpen, phenol dan antroquinon (Muzayyina, 2012)

Tumbuhan yang hidup di bumi dapat memberikan pelajaran yang banyak bagi manusia, dengan kemampuan berpikir yang diberi oleh Allah swt. berbagai jenis tanaman dan semua yang ada di bumi tidaklah diciptakan dengan sia-sia melainkan dapat bermanfaat untuk kehidupan, Sebagaimana firman Allah swt dalam QS Ali 'Imran/3: 190-191, yaitu

الَّذِينَ يَذْكُرُونَ اللَّهَ قِيَامًا وَقُعُودًا وَعَلَىٰ جُنُوبِهِمْ وَيَتَفَكَّرُونَ فِي خَلْقِ السَّمَاوَاتِ وَالْأَرْضِ
رَبَّنَا مَا خَلَقْتَ هَذَا بَاطِلًا سُبْحَانَكَ فَقِنَا عَذَابَ النَّارِ (١٩١)

Terjemahan

“ (yaitu) orang-orang yang mengingat Allah sambil berdiri atau duduk atau dalam keadan berbaring dan mereka memikirkan tentang penciptaan langit dan bumi (seraya berkata): "Ya Tuhan kami, tiadalah Engkau menciptakan ini dengan sia-sia, Maha Suci Engkau, maka peliharalah kami dari siksa neraka.”

Yang dimaksud dengan merenungi ayat-ayat Allah, ialah melihatnya, merenungi manfaat-manfaatnya, sehingga menghasilkan sebuah keyakinan yang mendalam bahwahnya Allah Azza wa Jalla saja dzat satu-satunya yang menciptakan semua itu. Dia-lah satu-satunya ilah yang berhak untuk disembah. Dia-lah satu-satunya ilah yang berhak ditakuti, ditaati, dan hanya Dia yang kita

jadikan sebagai petunjuk, sebagai bukti keagungan dan kekuasaan-Nya. Dia tidak menciptakan semua itu dengan sia-sia.

Dalam tafsir al-Misbah oleh Muhammad Quraish Shihab menjelaskan “Telah menjadi ciri *Ulu al-Albab* bahwa mereka selalu merenungkan keagungan dan kebesaran Allah dalam hati di mana pun mereka berada, dalam keadaan duduk, berdiri dan berbaring. Mereka selalu merenungkan penciptaan langit dan bumi, dan keunikan yang terkandung di dalamnya sambil berkata, “Tuhanku, tidak Engkau ciptakan jagat ini tanpa ada hikmah yang telah Engkau tentukan di balik itu. Engkau tersucikan dari sifat-sifat serba kurang, bahkan ciptaan-Mu itu sendiri adalah bukti kekuasaan dan hikmah-Mu. Hindarkanlah kami dari siksa neraka, dan berilah kami taufik untuk menaati segala perintah-Mu”. Dalam QS al-An’am/6: 99 juga dijelaskan bahwa

(وَهُوَ الَّذِي أَنْزَلَ مِنَ السَّمَاءِ مَاءً فَأَخْرَجْنَا بِهِ نَبَاتَ كُلِّ شَيْءٍ فَأَخْرَجْنَا مِنْهُ خَضِرًا نُخْرَجُ مِنْهُ حَبًّا مَثْرَاكِبًا وَمِنَ النَّخْلِ مِنَ النَّخْلِ مِنْ طَلْعِهَا قِنْوَانٌ دَانِيَةٌ وَجَنَّاتٍ مِّنْ أَعْنَابٍ وَالزَّيْتُونَ وَالرُّمَّانَ مُشْتَبِهًا وَغَيْرَ مُتَشَابِهٍ انظُرُوا إِلَى ثَمَرِهِ إِذَا أَثْمَرَ وَيَنْعِهِ إِنَّ فِي ذَلِكُمْ لَآيَاتٍ لِّقَوْمٍ يُؤْمِنُونَ (٩٩))

Terjemahan:

“Dan Dialah yang menurunkan air hujan dari langit, lalu Kami tumbuhkan dengan air itu segala macam tumbuh-tumbuhan maka Kami keluarkan dari tumbuh-tumbuhan itu tanaman yang menghijau. Kami keluarkan dari tanaman yang menghijau itu butir yang banyak; dan dari mayang korma mengurai tangkai-tangkai yang menjulai, dan kebun-kebun anggur, dan (Kami keluarkan pula) zaitun dan delima yang serupa dan yang tidak serupa. Perhatikanlah buahnya di waktu pohonnya berbuah dan (perhatikan pulalah) kematangannya. Sesungguhnya pada yang demikian itu ada tanda-tanda (kekuasaan Allah) bagi orang-orang yang beriman.”

Menurut Tafsir Jalalayn ayat tersebut menjelaskan “ (Dan Dialah yang menurunkan air hujan dari langit, lalu Kami tumbuhkan) dalam ayat ini terkandung iltifat dari orang yang ketiga menjadi pembicara (dengan air itu) yakni dengan air hujan itu (segala macam tumbuh-tumbuhan) yang dapat tumbuh (maka Kami keluarkan darinya) dari tumbuh-tumbuhan itu sesuatu (tanaman yang hijau) yang menghijau (Kami keluarkan darinya) dari tanaman yang menghijau itu (butir yang banyak) yang satu sama lainnya bersusun seperti bulir-bulir gandum dan sejenisnya (dan dari pohon kurma) menjadi khabar dan dijadikan sebagai *mubdalminhu* (yaitu dari mayangnya) yaitu dari pucuk pohonnya; dan *mubtadanya* ialah (keluar tangkai-tangkainya) tunas-tunas buahnya (yang mengurai) saling berdekatan antara yang satu dengan yang lainnya (dan) Kami tumbuhkan berkat air hujan itu (kebun-kebun) tanaman-tanaman (anggur, zaitun dan delima yang serupa) dedaunannya; menjadihal (dan yang tidak serupa) buahnya (perhatikanlah) hai orang-orang yang diajak bicara dengan perhatian yang disertai pemikiran dan pertimbangan (buahnya) dengan dibaca *fathah* huruf *tsa* dan huruf *mimnya*, atau dibaca *dhammah* keduanya sebagai kata jamak dari *tsamrah*; perihalnya sama dengan kata *syajaratun* jamaknya *syajarun*, dan *khasyabatun* jamaknya *khasyabun* (di waktu pohonnya berbuah) pada awal munculnya buah; bagaimana keadaannya? (dan) kepada (kematangannya) artinya kemasakannya, yaitu apa bila telah masak; bagaimana keadaannya. (Sesungguhnya yang demikian itu ada tanda-tanda) yang menunjukkan kepada kekuasaan Allah swt. Dalam menghidupkan kembali yang telah mati dan lain sebagainya (bagi orang-orang yang beriman) mereka disebut secara khusus sebab

hanya merekalah yang dapat memanfaatkan hal ini untuk keimanan mereka, berbeda dengan orang-orang kafir”

Sesudah itu Allah swt. menjelaskan kejadian hal-hal yang menjadi kebutuhan manusia sehari-hari, agar mereka secara mudah dapat memahami kekuasaan, kebijaksanaan, serta pengetahuan Allah. Allah swt. menjelaskan bahwa Allah-lah yang menurunkan hujan dari langit, yang menyebabkan tumbuhnya berbagai jenis tumbuh-tumbuhan yang terdiri dari berbagai ragam bentuk, macam dan rasa. seperti firman Allah pada QS ar-Ra’du/13: 4

(وَفِي الْأَرْضِ قِطْعٌ مُتَجَاوِرَاتٌ وَجَنَّاتٌ مِّنْ أَعْنَابٍ وَزُرْعٌ وَنَخِيلٌ وَصِنَوَانٌ وَعَيْرٌ صِنَوَانٍ يُسْقَى بِمَاءٍ وَاحِدٍ وَنُفِضْلُ بَعْضُهَا عَلَىٰ بَعْضٍ فِي الْأُكُلِ إِنَّ فِي ذَٰلِكَ لَآيَاتٍ لِّقَوْمٍ يَعْقِلُونَ
((٤))

Terjemahan:

“ Dan di bumi ini terdapat bagian-bagian yang berdampingan, dan kebun-kebun anggur, tanaman-tanaman dan pohon korma yang bercabang dan yang tidak bercabang, disirami dengan air yang sama. Kami melebihkan sebahagian tanam-tanaman itu atas sebahagian yang lain tentang rasanya. Sesungguhnya pada yang demikian itu terdapat tanda-tanda (kebesaran Allah) bagi kaum yang berfikir. ”

Berdasarkan Tafsir Ibnu Katsir oleh Ismail bin Umar Al-Quraisyi bin Katsir Al-Bashri Ad-Dimasyqi: Setelah menyebutkan tentang alam langit, maka Allah menyebutkan kekuasaan, kebijaksanaan, dan hukum-hukumnya di alam bagian bawah. Untuk itu Allah subhanahu wa ta’ala. berfirman dalam QS Ar-Ra’du/13: 4 yng artinya, dari tiap jenis ada dua macam yang berpasangan. Allah menutupkan malam kepada siang. Dia menjadikan masing-masing dari keduanya

menyusul yang lainnya dengan cepat. Dengan kata lain, apabila yang satunya pergi, maka yang lainnya datang, dan apabila yang lainnya pergi, maka yang satunya datang. Allah pulalah yang mengatur waktu, sebagaimana Dia mengatur empat dan penduduknya. Sesungguhnya pada yang demikian itu terdapat tanda-tanda (kebesaran Allah) bagi kaum yang memikirkan. Yakni memikirkan tanda-tanda kebesaran Allah, kebijaksanaan, dan bukti-bukti yang menunjukkan kekuasaan-Nya.

Jenis yang lain lagi dan jenis tumbuh-tumbuhan yang beraneka ragam itu ialah anggur, zaitun, dan delima. Ketika jenis buah-buahan ini disebutkan secara beruntun, karena masing-masing ada yang mempunyai persamaan dan perbedaan, sifat, bentuk dan rasanya, sehingga ada yang berwarna kehitam-hitaman dan ada pula yang berwarna kehijau-hijauan; ada yang berdaun agak lebar, dan ada pula yang berdaun agak kecil; begitu pula ada yang rasanya manis dan ada yang asam. Kesemuanya itu adalah untuk menunjukkan kekuasaan Allah yang menciptakan tumbuh-tumbuhan yang beraneka ragam itu. Dari tumbuhan dapat ditemukan ramuan obat-obatan yang berfungsi untuk penyembuhan penyakit, dari tumbuhan juga dapat memberikan manfaatnya kepada manusia agar bisa dikonsumsi dan diambil manfaatnya yang lain. Seperti pengaplikasian daun Tarum sebagai *dye sensitizer* DSSC.

BAB III

METODE PENELITIAN

A. Waktu dan Tempat Penelitian

Penelitian ini telah dilaksanakan di Laboratorium Fisika Modern Fakultas Sains dan Teknologi UIN Alauddin Makassar dari bulan Oktober 2018 hingga Maret 2019. Proses ekstraksi dilakukan di Laboratorium Kimia Organik Fakultas Sains Teknologi UINAM, untuk pengujian sel DSSC dilakukan di Pelataran FST UINAM, untuk pengujian UV-Vis di Laboratorium Kimia Terpadu Fakultas MIPA UNHAS dan pengujian SEM (*Scanning Electron Microscopy*) dilakukan di Laboratorium Pengujian dan Penelitian Terpadu UGM.

B. Alat dan Bahan

Alat dan bahan yang digunakan pada penelitian ini adalah sebagai berikut:

1. Alat

Peralatan yang digunakan pada penelitian ini yaitu Spektrofotometer UV-Vis Shimadzu UV 2600 serie, SEM, *rotary evaporator*, *ultrasonic cleaner*, *blender*, neraca analitik, multimeter digital, luxmeter, potensiometer 100 K Ω , kabel penghubung, dan alat-alat gelas serta gelas ukur, pipet skala dan pipet tetes.

2. Bahan

Bahan yang digunakan yaitu daun tarum, Substrat kaca *Indium Tin Oxide* (ITO), *titanium oksida* (TiO₂), *Iod* (I₂), *kalium iodida* (KI), selotip, etanol 96%, aquades, kain penyaring, dan lilin.

C. *Prosedur Penelitian*

Prosedur kerja yang telah dilakukan pada penelitian ini adalah sebagai berikut:

1. **Persiapan Alat dan Bahan**

- a. Menyiapkan alat dan bahan yang digunakan dalam penelitian seperti kaca ITO ukuran 2×2 cm sebanyak 8 lembar, daun Tarum (*Indigofera Tinctoria*) sekitar 200 gr, TiO_2 , KI padat, I_2 (bubuk), aquades dan larutan etanol 96%.
- b. Membersihkan alat-alat ekstraksi dengan menggunakan etanol sebelum digunakan agar lebih steril seperti, blender, gelas kimia, wadah, dan corong, serta mencuci daun tarum menggunakan air.

2. **Pembuatan Ekstrak Zat Warna (*dye*)**

- a. Mengeringkan 200 gram daun Tarum dibawah terik matahari kurang lebih selama 1 jam, kemudian menghaluskan daun Tarum menggunakan blender hingga menjadi serbuk.
- b. Menimbang serbuk daun Tarum sebanyak 70 gram.
- c. Memasukkan serbuk ke dalam toples untuk dimaserasi dengan cara direndam menggunakan etanol 96% selama 24 jam.
- d. Menyaring hasil rendaman untuk memperoleh filtratnya dengan menggunakan kain penyaring dan corong ke dalam botol.
- e. Mengentalkan filtrat ekstrak menggunakan *evaporator*, kemudian menyimpan dalam wadah tertutup dan didapatkan ekstrak kental *dye* daun tarum sebanyak 13,152 gr .



Gambar 3.1 : Ekstrak Daun Tarum

- f. Membuat larutan *dye* dengan konsentrasi 30%, 50%, 70% dan 100% dalam 2ml

Tabel 3.1 : Perbandingan konsentrasi *dye* dan etanol

No	Sampel	Dye (ml)	Etanol (ml)
1.	Konsentrasi 30%	0,6	1,4
2.	Konsentrasi 50%	1	1
3.	Konsentrasi 70%	1,4	0,6
4.	Konsentrasi 100%	2	0

3. Pengujian UV-VIS

- Mengencerkan *dye* dengan mengambil 1 ml *dye* kemudian menambahkan 9 ml etanol lalu dihomogenkan (Sampel A).
- Mengambil 1 ml *dye* sampel A kemudian menambahkan etanol 9 ml lalu dihomogenkan (Sampel B).
- Mengambil 1 ml *dye* sampel B kemudian menambahkan 9 ml etanol lalu dihomogenkan (Sampel C).
- Memasukkan etanol ke dalam kuvet I sebagai pembacaan blangko.

- e. Memasukkan sampel C ke dalam kuvet II sebagai sampel uji.
- f. Mengulangi langkah (a) hingga (e) untuk konsentrasi yang berbeda. Hasil pembacaan ditampilkan dalam bentuk grafik dan tabel seperti tabel berikut.

Tabel 3.2: Hasil Pengamatan Pengujian UV-Vis

No.	Konsentrasi Sampel (%)	Panjang Gelombang (nm)	Absorbansi
1.	30
2.	50
3.	70
4.	100

4. Pembuatan Pasta TiO₂

- a. Melarutkan bubuk Semikonduktor TiO₂ (PA) menggunakan etanol
- b. Mengaduk dan menggerus TiO₂ hingga homogen dan berbentuk pasta

Gambar 3.2: Pasta TiO₂

5. Pembuatan Lapisan TiO₂ pada Kaca ITO (Elektroda Kerja)

- a. Membersihkan kaca konduktif ITO (*Indium Tin Oxide*) menggunakan etanol, kemudian mengeringkannya menggunakan *tissue*.
- b. Mengukur resistansi kaca dengan menggunakan multimeter.

- c. Memberi selotip pada kaca ITO hingga didapatkan area deposisi 1cm^2 .
- d. Mendeposisikan pasta TiO_2 dengan metode *Doctor Blade*.
- e. Melepas selotip kemudian menyintering kaca elektroda menggunakan *hot plate* pada suhu $300\text{ }^\circ\text{C}$ selama 60 menit



Gambar 3.3: Kaca ITO dengan lapisan TiO_2

6. Perendaman Lapisan TiO_2 pada Dye

- a. Menuang dye dengan konsentrasi 30%, 50%, 70% dan 100% masing-masing ke dalam cawan dan diberi label.
- b. Merendam kaca ITO yang telah dilapisi dengan TiO_2 ke dalam *dye* dan ditutup dengan aluminium foil, kemudian didiamkan selama 24 jam.
- c. Mengangkat kaca dengan menggunakan pinset.
- d. Membersihkan sisi kaca dengan menggunakan *tissue* dan *cotton bud*.



Gambar 3.4: Elektroda Kerja

7. Pembuatan Elektroda Pemanding

- a. Membersihkan kaca menggunakan etanol, lalu mengeringkannya menggunakan *tissue*.
- b. Mengukur resistansi kaca dengan menggunakan multimeter.
- c. Membakar permukaan kaca di atas api lilin sampai terbentuk lapisan karbon (hitam)
- d. Membersihkan sisi kaca menggunakan *cotton bud* , hingga diperoleh luas area karbon $1 \times 1 \text{ cm}^2$



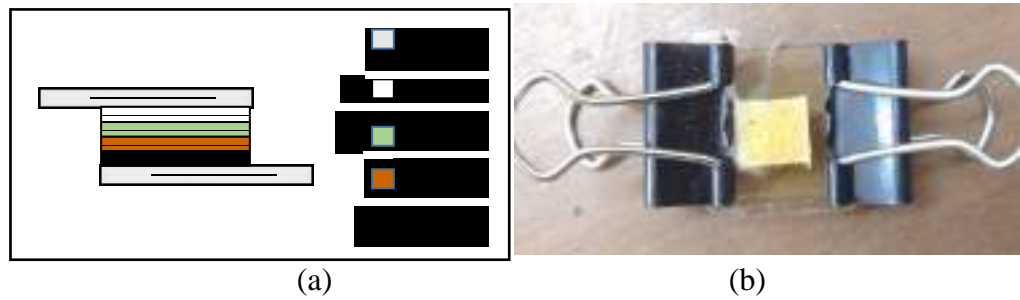
Gambar 3.5: Elektroda Pemanding

8. Preparasi Elektrolit

- a. Menimbang Kalium Iodida (KI) sebanyak 0,83 gram
- b. Melarutkan KI dengan aquades sebanyak 10 ml pada gelas ukur
- c. Menambahkan Iodin (I_2) sebanyak 0,127 gram, mengaduk larutan elektrolit hingga tercampur sempurna.

9. Pembuatan Lapisan Sandwich DSSC

- a. Menyusun elektroda kerja dengan elektroda karbon
- b. Menjepit kedua sisinya dengan menggunakan penjepit kertas
- c. Meneteskan elektrolit pada sela-sela elektroda kerja dan elektroda karbon hingga elektrolit dalam sel merata.

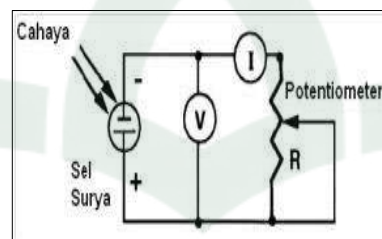


Gambar 3.6 (a) Struktur DSSC (b) Foto Sel DSSC

10. Rangkaian DSSC

Rangkaian DSSC dibuat dengan merangkai tiap komponen dengan cara:.

- a. Merangkai sel DSSC secara seri dengan amperemeter dan potensiometer kemudian menghubungkan secara paralel dengan voltmeter, seperti pada gambar



(a)



(b)

Gambar 3.7 : (a) Rangkaian Pengujian Arus dan Tegangan DSSC (b) Foto Rangkaian Uji

- b. Mengukur intensitas penyinaran menggunakan *lux* meter.
- c. Mengatur hambatan yang diberikan potensiometer untuk mendapatkan daya maksimum DSSC.
- d. Mencatat arus, tegangan dan intensitas penyinaran (cahaya matahari) pada tabel berikut:

Tabel 3.3 Hasil Pengamatan

Konsentrasi Sampel (%)	V (mV)	I (μ A)	P (mWatt/cm ²)	Intensitas Penyinaran (Lux)
30
50
70
100

- e. Menghitung efisiensi DSSC menggunakan persamaan (2.7).

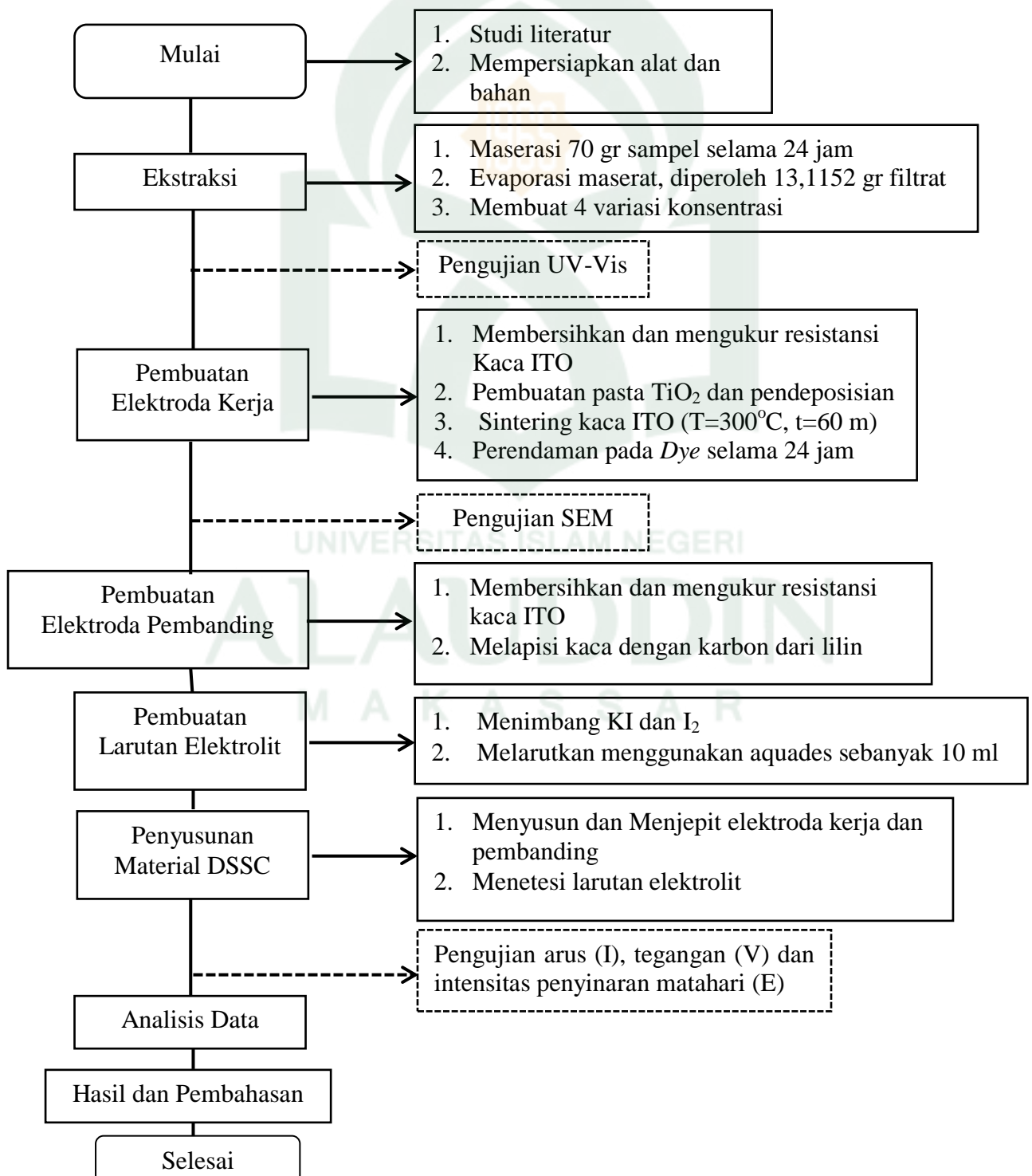
11. Pengujian SEM (Scanning Electron Microscopy)

- a. Membersihkan kaca ITO dengan menggunakan etanol, kemudian mengeringkannya menggunakan *tissue*.
- b. Mengukur resistansi kaca dengan menggunakan multimeter.
- c. Memotong kaca ITO dengan ukuran kurang lebih 1 cm²
- d. Mendeposisikan pasta TiO₂ dengan metode doctor blade.
- f. Menyintering kaca menggunakan *hot plate* pada suhu 300 °C selama 60 menit
- e. Membuat dye dengan konsentrasi 70% dan dituang ke dalam cawan.
- f. Merendam kaca ITO yang telah dilapisi dengan TiO₂ ke dalam dye dan ditutup dengan aluminium voil, kemudian didiamkan selama 24 jam.

- g. Mengangkat kaca dengan menggunakan pinset lalu membersihkan sisi belakang kaca dengan menggunakan tissue.
- h. Memasukkan sampel pada alat pengujian SEM (*Scanning Electron Microscopy*)

D. *Bagan Alir*

Bagan alir dari penelitian ini adalah sebagai berikut:



E. Jadwal Kegiatan

Penelitian ini dilaksanakan sesuai dengan jadwal berikut:

No.	Jenis Kegiatan	Oktober				November				Desember				Januari				Februari				Maret				Tempat Kegiatan
		1	2	3	4	1	2	3	4	1	2	3	4	1	2	3	4	1	2	3	4	1	2	3	4	
1	Persiapan Alat dan Bahan	■	■	■	■																					Laboratorium Fisika Modern
2	Ekstrak Bahan		■	■	■																					Laboratorium Kimia Organik
3	Uji UV-Vis			■	■																					Laboratorium Kimia Terpadu UNHAS
4	Uji FTIR				■																					Laboratorium Fisika Modern
5	Pengukuran Resistansi Kaca					■	■	■	■	■	■	■	■	■	■	■	■									Laboratorium Fisika Modern
6	Pendeposisian dan Sintering Lapisan TiO ₂					■	■	■	■	■	■	■	■	■	■	■	■									Laboratorium Fisika Modern
7	Pembuatan Konsentrasi Dye					■	■	■	■	■	■	■	■	■	■	■	■									Laboratorium Fisika Modern
8	Perendaman Lapisan TiO ₂ pada Dye					■	■	■	■	■	■	■	■	■	■	■	■									Laboratorium Fisika Modern

M A K A S S A R

9	Pembuatan Elektroda Karbon																			Laboratorium Fisika Modern
10	Penyusunan <i>sandwich</i> DSSC																			Laboratorium Fisika Modern
11	Penetesan Larutan Elektrolit																			Laboratorium Fisika Modern
12	Pengukuran Arus dan Tegangan (Pengujian Sel)																			Pelataran FST UINAM
13	Uji XRD																			
14	Uji SEM																			Laboratorium Mikrostruktur FMIPA UNM
15	Analisis Data																			Laboratorium Fisika Modern
16	Penyusunan Laporan																			Laboratorium Fisika Modern

BAB IV

HASIL DAN PEMBAHASAN

A. Ekstraksi Sampel Dye Daun Tarum (*I.Tinctoria*)

Telah dilakukan penelitian tentang sel surya, dimana fokus penelitian ini yaitu pada sel surya generasi ketiga yang dikenal dengan istilah DSSC (*Dye Sensitized Solar Cel*). Sel surya jenis ini terbuat dari bahan semikonduktor yang dilapisi zat pewarna (*dye*) untuk meningkatkan efisiensi konversi sinar matahari. Sel surya tersensitisasi *dye* memiliki struktur seperti *sandwich* (berlapis), yang tersusun atas dua elektroda yaitu elektroda TiO₂ tersensitisasi *dye* dan elektroda pembanding terkatalisasi yang mengapit elektrolit membentuk sistem sel fotoelektrokimia (Smestad dan Gratzel, 1998). Keunggulan dari DSSC yaitu biaya fabrikasi murah dan ramah lingkungan

Pada penelitian ini dilakukan beberapa tahap pengujian terhadap sampel yakni pengujian serapan UV-Vis ekstrak *dye*, pengujian arus dan tegang sel DSSC, analisis morfologi elektroda TiO₂ menggunakan SEM (*Scanning Electron Microscopy*) Vega 3 Tescan. Jenis *dye* yang digunakan berasal dari tanaman Tarum (*Indigofera Tinctoria*) yang diambil dari daerah Kajang, Kab.Bulukumba. Tanaman Tarum digunakan khusus oleh warga Kajang sebagai bahan dasar pewarna kain atau benang yang akan digunakan untuk menenun (Awalia, Arifin, dan Kaswanto 2016). Tanaman Tarum (*I.Tinctoria*) mengandung senyawa bioaktif flavonoid, saponin, tannin, steroid, terpen, phenol dan antroquinon (Muzayyina, 2012), dimana flavonoid dan tanin merupakan salah satu zat yang

dapat dijadikan *sensitizer* pada DSSC . Pada penelitian ini dilakukan juga variasi konsentrasi *dye* dengan pelarutnya, untuk memperoleh konsentrasi optimum pada tanaman daun Tarum.

Tanaman Tarum dibersihkan terlebih dahulu kemudian dikeringkan di bawah terik matahari hingga daun benar-benar kering kemudian sampel dihaluskan menggunakan *blender*. Serbuk daun tarum diekstraksi menggunakan metode maserasi dan pelarut yang digunakan adalah etanol 96%, sampel direndam selama 24 jam. Hasil maserasi kemudian dievaporasi menggunakan *evaporator* untuk mengurangi pelarut etanolnya, kemudian diuapkan dalam lemari asam untuk mendapatkan ekstrak yang kental.



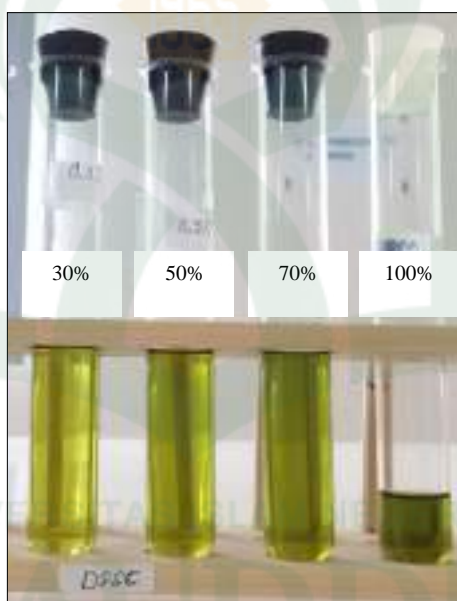
Gambar 4.1: Ekstrak Kental *Dye* Daun Tarum

Ekstrak kental yang diperoleh selanjutnya dibuat dalam empat varian konsentrasi yaitu 30%, 50%, 70% dan 100%, inilah yang digunakan sebagai *dye* dalam penelitian ini. Ekstrak daun tarum yang berfungsi sebagai *sensitizer* ini dapat menyerap dan meneruskan spektrum cahaya tampak. Untuk mengetahui daya absorpsi ekstrak daun tarum terhadap panjang gelombang spektrum cahaya

tampak dilakukan pengujian dengan menggunakan spektrofotometer UV-Vis 2600 Series Shimadzu.

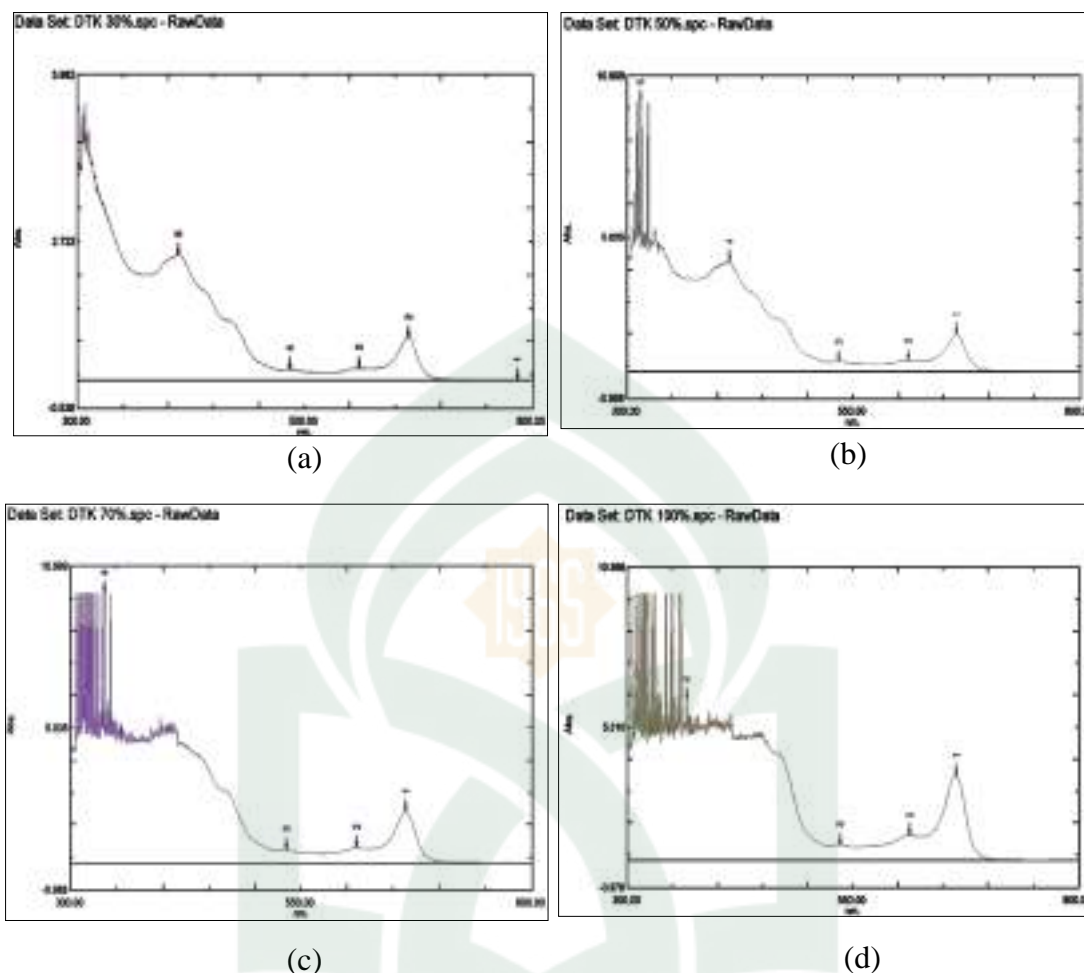
B. *Spektrum Serapan Panjang Gelombang Dye Daun Tarum*

Dye dengan konsentrasi 30%, 50%, 70% dan 100% diencerkan sebanyak 1000 kali. Pengenceran ini dilakukan agar larutan dye tersebut dapat terbaca oleh detektor. Hasil pengenceran ekstrak daun tarum tersebut berwarna hijau seperti yang ditunjukkan pada gambar 4.2 berikut ini:



Gambar 4.2: Hasil Pengenceran *Dye* dari Ekstrak Daun Tarum

Hasil pembacaan UV-Vis ditampilkan dalam bentuk grafik hubungan antara panjang gelombang (nm) terhadap absorbansi, sebagai berikut:



Gambar 4.3 Grafik hasil serapan UV-Vis larutan ekstrak daun tarum (a) dye dengan konsentrasi 30%, (b) dye dengan konsentrasi 50% dan (c) dye dengan konsentrasi 70% (d) dye dengan konsentrasi 100%.

Spektrum absorbansi ekstrak daun tarum diukur pada rentang panjang gelombang 300-800 nm. Hasil serapan yang diperoleh pada ekstrak daun tarum dengan variasi konsentrasi 30%, 50%, 70% dan 100% berturut-turut yaitu 784 nm, 663.50 nm, 664 nm, 664.50 nm. Hal tersebut menunjukkan bahwa spektrum serapan ekstrak daun tarum dengan konsentrasi 30%, 50%, 70% dan 100% terletak pada panjang gelombang yang hampir sama, dengan tingkat absorpsi yang berbanding terbalik terhadap panjang gelombang. Hal tersebut telah sesuai dengan Hukum

Lambert-Beer yang menyatakan bahwa absorbansi berbanding lurus terhadap konsentrasi. Tinggi rendahnya konsentrasi larutan, akan mempengaruhi intensitas serapan, namun tidak mempengaruhi panjang gelombang. Oleh karena itu, larutan ekstrak daun tarum tersebut seharusnya memiliki nilai panjang gelombang yang sama. Perbedaan tersebut diduga karena ketidakhomogenan larutan pada saat pengenceran dan kuvet uji UV-Vis yang kurang bersih. Pada Penelitian Salafudin (2017) dan Yulia Kirana Lahsmin (2016) juga terjadi pergeseran panjang gelombang, Salafudin memvariasikan konsentrasi ekstrak *dye* bunga mawar, sedangkan Yuli memvariasikan konsentrasi ekstrak *dye* pacar kuku. Menurut Salafudin (2017) pergeseran puncak ini disebabkan oleh penambahan pelarut pada larutan *dye*. Larutan alkohol menyebabkan pertambahan tingkat kepolaran dari larutan *dye*. Penggunaan pelarut dengan kepolaran yang berbeda menyebabkan posisi puncak absorpsi suatu senyawa bergeser.

Grafik pada gambar 4.2 menunjukkan puncak panjang gelombang tertinggi yaitu terletak pada daerah panjang gelombang 786 nm dengan nilai absorpsi 0.009. Hal ini menunjukkan ekstrak daun tarum memiliki daya absorpsi pada gelombang cahaya tampak atau *visible* dengan warna yang diserap yaitu warna merah (610-800 nm) (Seran, 2011), dimana cahaya tampak memiliki rentang panjang gelombang 400-800nm. Ekstrak daun tarum juga memiliki daya absorpsi pada gelombang cahaya *ultraviolet* (UV), hal tersebut terlihat pada nilai absorpsi cahaya tertinggi terletak pada panjang gelombang 314.50 nm dan 336.50 nm dengan daya absorpsi 10.00, dimana sinar UV memiliki rentang panjang gelombang 100-400nm (Kumara and Prajitno 2012). Sedangkan pada penelitian

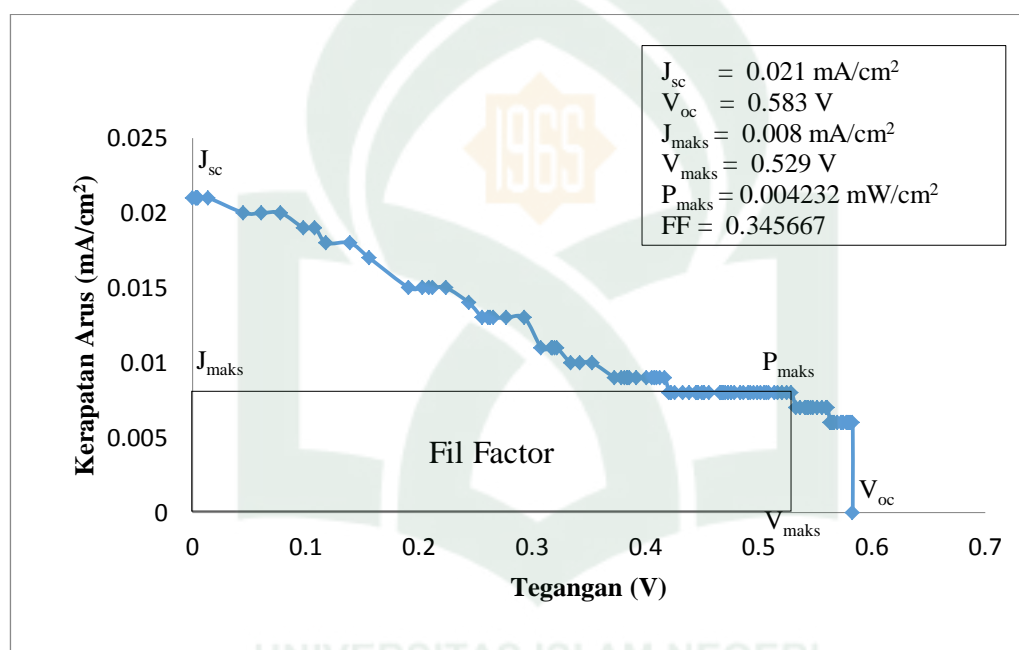
yang dilakukan oleh Basuki dkk (2018) dengan sampel yang sama (*Indigo Tinctoria*) memperoleh rentang panjang gelombang 375-475 nm dengan puncak absorbansi 2,6 a.u terletak pada panjang gelombang 437 nm. Hasil panjang gelombang yang berbeda disebabkan perbedaan pelarut yang digunakan pada proses ekstraksi, Basuki dkk (2018) menggunakan pelarut air (H_2O) dan menambahkan kapur (CaO) dan natrium hidrosulfit ($Na_2S_2O_4$).

Spektrum serapan yang dimiliki ekstrak daun tarum cukup lebar dengan rentang panjang gelombang 314 -784 nm. Semakin banyak puncak absorpsi pada serapan gelombang cahaya UV dan *Visible* semakin baik, dengan begitu *dye* akan mampu menyerap lebih banyak energi foton dan siklus transport elektron pada sel akan berjalan lancar sehingga dapat menghasilkan arus listrik. Jadi dapat dikatakan bahwa ekstrak daun tarum cukup baik untuk dijadikan *sensitizer* pada DSSC

C. Efisiensi DSSC

Pada penelitian ini pengukuran arus dan tegangan diukur dengan merangkai amperemeter secara seri dengan potensiometer $100\text{ k}\Omega$ dan voltmeter dihubungkan secara paralel seperti pada Gambar 3.7, untuk mengetahui seberapa besar efisiensi sel . Pengujian sel dilakukan dibawah terik matahari, pengukuran dilakukan dengan memutar potensiometer secara perlahan dari hambatan nol hingga hambatan maksimum untuk memperoleh nilai arus dan tegangan yang bervariasi. Selain mengukur arus dan tegangan dilakukan juga pengukuran terhadap intensitas penyinaran menggunakan luxmeter.

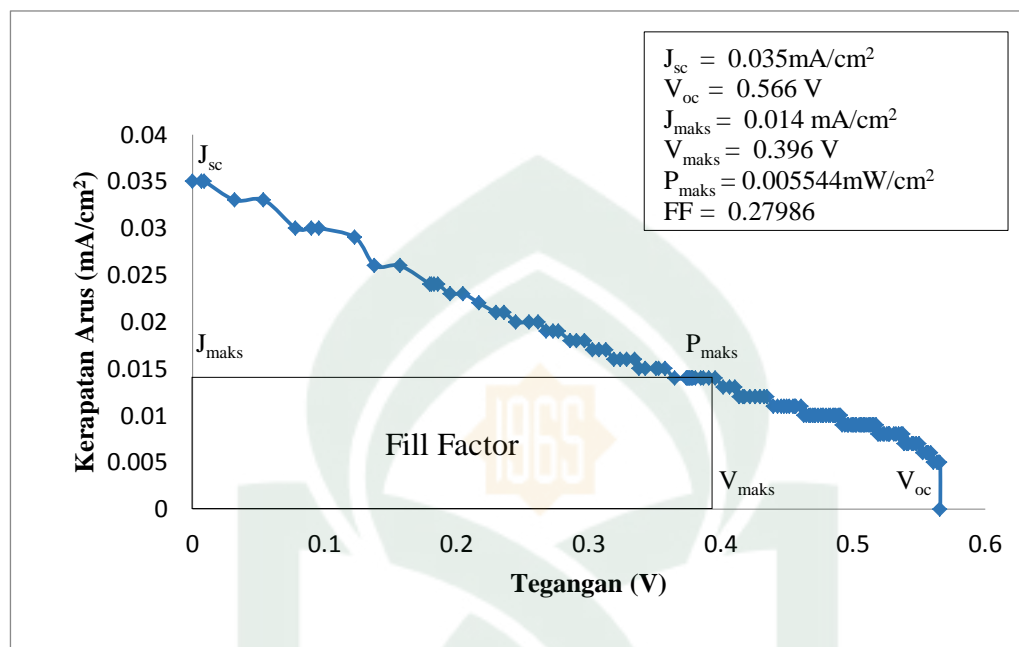
Ketika sel disinari cahaya matahari dan menghasilkan arus listrik hal tersebut menunjukkan telah terjadi konversi foton dari sinar matahari menjadi energi listrik. Dalam kondisi *short circuit* (I_{SC}), sel tidak menghasilkan tegangan sehingga arus menjadi maksimum. Sedangkan pada kondisi *open circuit* (V_{OC}) tidak ada arus yang mengalir sehingga tegangannya maksimum. Berikut hasil pengukuran sel menggunakan *dye* ekstrak daun tarum dengan konsentrasi 30%



Gambar 4.4: Kurva J-V DSSC dengan Konsentrasi *dye* Daun Tarum 30%

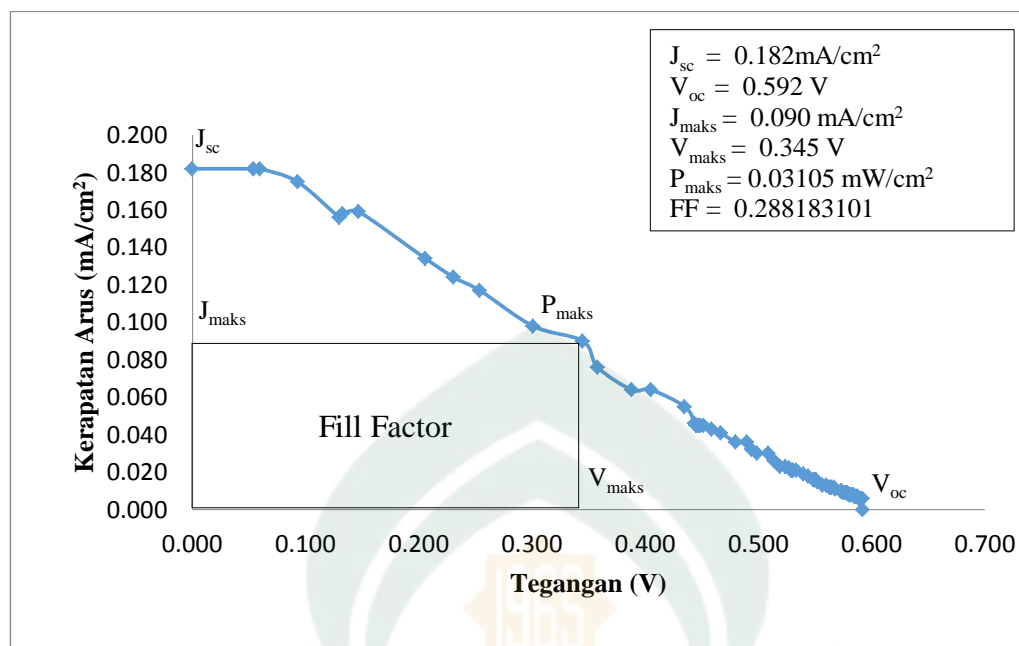
Grafik diatas menunjukkan hubungan antara kerapatan arus dan tegangan pada daun tarum dengan konsentrasi 30%. Luas area aktif sel dibuat dengan ukuran 1 cm², nilai kerapatan arus saat kondisi *short circuit* sebesar 0.021 mA/cm² dan tegangan saat kondisi *open circuit* sebesar 0.583 V. Sedangkan untuk J_{maks} dan V_{maks} sebesar 0.008 mA/cm² dan 0.529 V. Daya maksimum diperoleh dari hasil perkalian rapat arus dan tegangan pada tiap titik, diperoleh P_{maks} sebesar

0.004232 mW/cm^2 kemudian dapat diperoleh luas area fill factor pada grafik, dengan nilai FF 0.345667 yang dihitung menggunakan persamaan 2.5.



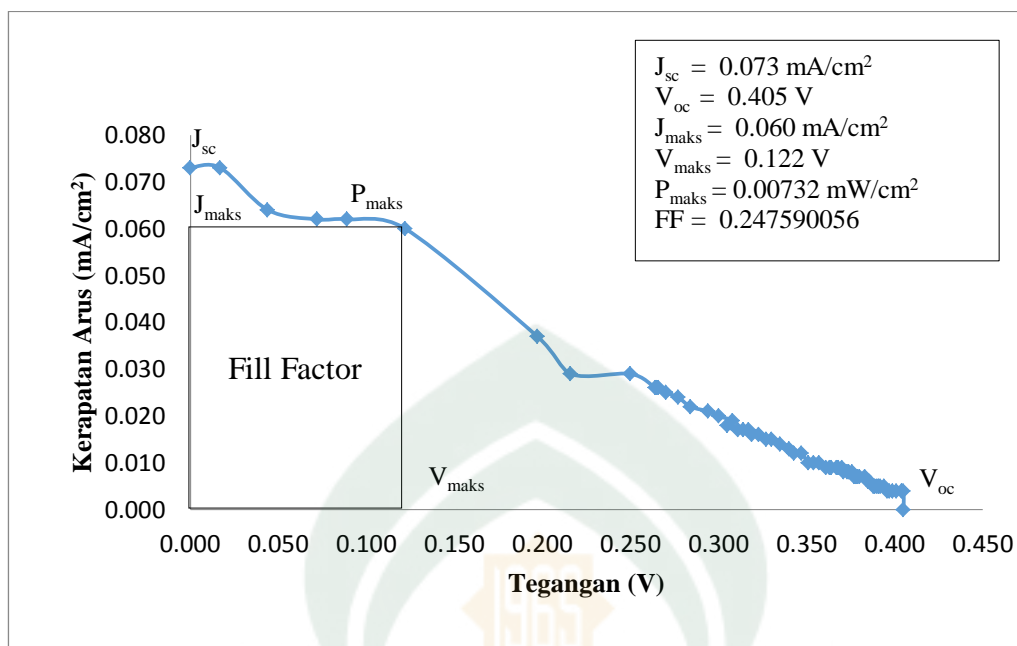
Gambar 4.5: Kurva J-V DSSC dengan Konsentrasi *dye* Daun Tarum 50%

Grafik diatas menunjukkan hubungan antara kerapatan arus dan tegangan pada daun tarum dengan konsentrasi 50%. Diperoleh nilai kerapatan arus saat kondisi *short circuit* sebesar 0.035 mA/cm^2 dan tegangan saat kondisi *open circuit* sebesar 0.566 V . Sedangkan untuk J_{maks} dan V_{maks} sebesar 0.014 mA/cm^2 dan 0.396 V . Daya maksimum diperoleh dari hasil perkalian rapat arus dan tegangan pada tiap titik, diperoleh P_{maks} sebesar 0.005544 mW/cm^2 kemudian dapat diperoleh luas area fill factor pada grafik, dengan nilai FF 0.27986.



Gambar 4.6: Kurva J-V DSSC dengan Konsentrasi *dye* Daun Tarum 70%

Grafik diatas menunjukkan hubungan antara kerapatan arus dan tegangan pada daun tarum dengan konsentrasi 70%. Diperoleh nilai kerapatan arus saat kondisi *short circuit* sebesar 0.182 mA/cm^2 dan tegangan saat kondisi *open circuit* sebesar 0.592 V . Sedangkan untuk J_{maks} dan V_{maks} sebesar 0.090 mA/cm^2 dan 0.345 V . Daya maksimum diperoleh dari hasil perkalian rapat arus dan tegangan pada tiap titik, diperoleh P_{maks} sebesar 0.03105 mW/cm^2 kemudian dapat diperoleh luas area fill factor pada grafik, dengan nilai FF 0.288183101 .



Gambar 4.7: Kurva J-V DSSC dengan Konsentrasi *dye* Daun Tarum 100%

Grafik diatas menunjukkan hubungan antara kerapatan arus dan tegangan pada daun tarum dengan konsentrasi 100%. Diperoleh nilai kerapatan arus saat kondisi *short circuit* sebesar 0.073 mA/cm^2 dan tegangan saat kondisi *open circuit* sebesar 0.405 V . Sedangkan untuk J_{maks} dan V_{maks} sebesar 0.060 mA/cm^2 dan 0.405 V . Daya maksimum diperoleh dari hasil perkalian rapat arus dan tegangan pada tiap titik, diperoleh P_{maks} sebesar 0.00732 mW/cm^2 kemudian dapat diperoleh luas area fill factor pada grafik, dengan nilai $FF = 0.247590056$.

Selanjutnya nilai-nilai yang diperoleh dari hasil pengukuran di atas digunakan untuk menghitung efisiensi DSSC dengan menggunakan persamaan 2.7. Berikut tabel hasil perhitungan nilai efisiensi DSSC dengan pengukuran menggunakan sumber cahaya matahari (di bawah terik matahari) pada empat variasi konsentrasi dye dari ekstrak daun tarum:

Tabel 4.1 Hasil Perhitungan Efisiensi DSSC menggunakan *Dye* Ekstrak DaunTarum

Konsentrasi (%)	Voc (V)	Jsc (mA)	Pmax (mW/cm ²)	FF	P in (mW/cm ²)	η (%)
30	0,583	0,021	0,004232	0,34567	8,91654	0,047462
50	0,566	0,035	0,005544	0,27986	8,55051	0,064838
70	0,592	0,182	0,031050	0,28818	8,41874	0,368820
100	0,405	0,073	0,007320	0,24759	8,18448	0,089438

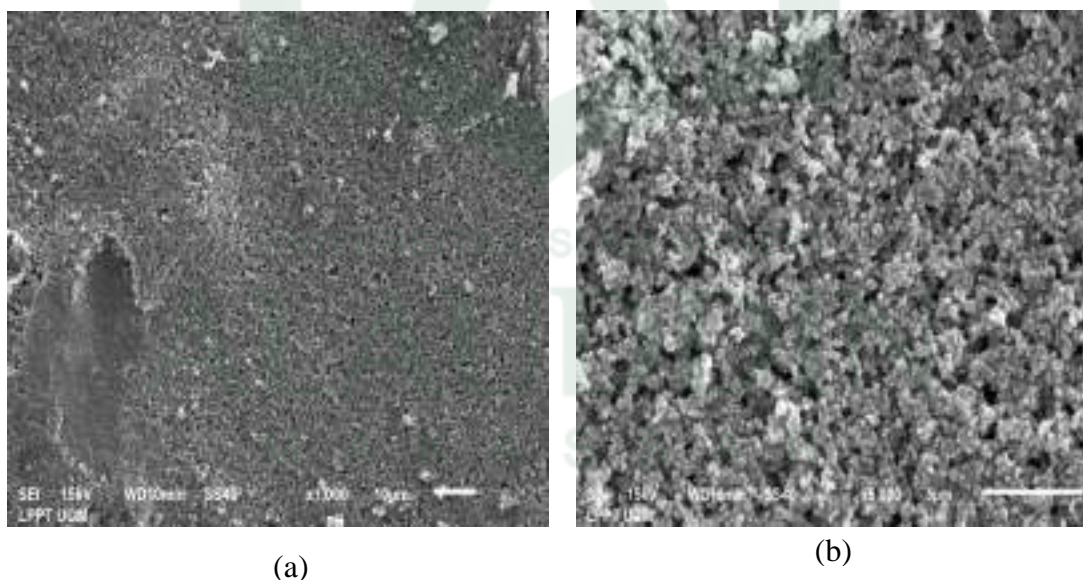
Perbedaan nilai efisiensi pada tabel 4.1 disebabkan oleh variasi jumlah pelarut pada *dye* daun tarum, dimana efisiensi tertinggi yaitu pada sel DSSC dengan perendaman pada variasi konsentrasi 70%. Hubungan variasi konsentrasi terhadap efisiensi sel DSSC cenderung bersifat linear, hal tersebut diakibatkan semakin banyak molekul *dye* yang melekat pada TiO₂ maka semakin banyak elektron-elektron pada *dye* yang dapat tereksitasi. Hal tersebut dapat dilihat dari rapat arus yang dihasilkan dimana semakin tinggi konsentrasi semakin banyak pula arus yang dihasilkan. Namun berbeda dengan variasi konsentrasi *dye* daun tarum 100%, pada konsentrasi ini terjadi penurunan efisiensi, hal tersebut dapat disebabkan karena molekul-molekul *dye* mengalami *agregation* (pengumpulan antara sesama molekul di pori-pori TiO₂ sehingga injeksi elektron tidak efisien. Seperti pada penelitian Salafudin (2017) dengan memvariasikan konsentrasi *dye* bunga mawar, dengan variasi konsentrasi 10%, 30%, 50%, 70%, dan 90%. Efisiensi tertinggi didapat oleh Saifudin (2017) yaitu pada konsentrasi 50%, yaitu sebesar 0,009467%. Dimana nilai efisiensi menggunakan *dye* daun Tarum lebih

tinggi yaitu sebesar 0,368820% dibandingkan *dye* bunga mawar yang diperoleh Salafudin (2017) yaitu 0,009467%.

D. *Morfologi Elektroda TiO₂*

Morfologi dari permukaan TiO₂ dan *dye* diamati dengan melakukan uji SEM, pengujian dilakukan di Laboratorium Pengujian dan Penelitian (LPP) UGM. Pengujian ini merupakan tahap akhir pada penelitian ini, untuk melihat bagaimana ikatan antara TiO₂ dan *dye* pada elektroda kerja sel DSSC. Pengujian dilakukan pada sel dengan efisiensi tertinggi, yaitu pada variasi konsentrasi 70%.

Pengujian SEM dilakukan menggunakan alat SEM Vega 3 Tescan. Gambar morfologi permukaan lapisan TiO₂ dan *dye* ditunjukkan pada gambar berikut:



Gambar 4.8 : Hasil Pengujian SEM (a) Perbesaran 1000x (b) Perbesaran 5000x

Warna putih menunjukkan TiO_2 dan warna gelap menunjukkan *dye* pada permukaan partikel-partikel TiO_2 . Hasil pengujian SEM pada gambar 4.3(a) dengan perbesaran 1000x pada skala $10\mu\text{m}$ terlihat penyebaran TiO_2 dan *dye* yang cukup merata, adapun yang sedikit menggupal hal tersebut diduga karena teknik pendeposisian TiO_2 menggunakan teknik *doctor blade* (metode konvensional) sehingga menyebabkan pelapisan TiO_2 yang kurang merata. Sedangkan pada gambar 4.3(b) dengan perbesaran 5000 pada skala $5\mu\text{m}$ terlihat permukaan TiO_2 yang memiliki cukup banyak pori, dimana pori ini berpengaruh untuk meningkatkan efisiensi sel.



BAB V

PENUTUP

a. *Kesimpulan*

Berdasarkan penelitian yang telah dilakukan dan hasil yang diperoleh dapat disimpulkan bahwa:

1. Spektrum serapan ekstrak daun tarum dengan konsentrasi yang berbeda-beda memiliki letak panjang gelombang yang hampir sama, dengan tingkat absorbansi berbanding terbalik dengan panjang gelombang. Daya absorbansi berbanding lurus dengan konsentrasi larutan *dye* daun Tarum, namun pada konsentrasi 100% terjadi penurunan daya absorbansi. Ekstrak *dye* daun Tarum (*I.Tinctoria*) memiliki daya absorbansi para rentang panjang gelombang 336,50-774 nm, hal tersebut menunjukkan ekstrak *dye* daun tarum dapat bekerja pada cahaya tampak atau *visible* maupun *ultraviolet* (UV).
2. Nilai efisiensi DSSC meningkat dari konsentrasi 30%, 50%,70% yaitu sebesar 0,047462%; 0,064838%; 0,368820% dan terjadi penurunan efisiensi pada konsentrasi *dye* daun tarum 100% yaitu sebesar 0,089438%.

b. *Saran*

Saran-saran penulis untuk penelitian selanjutnya yaitu:

1. Sebaiknya melakukan pengujian pada lampu halogen sehingga intensitas cahayanya bisa dikontrol
2. Menggunakan larutan elektrolit yang sifatnya stabil dan tidak mudah terdegradasi seperti elektrolit gel.

3. Menggunakan alat ukur I-V yang stabil seperti alat ukur *Keithley* I-V Meter, selain stabil alat ini sangat memudahkan dalam pencatatan nilai arus dan tegangan dan memiliki akurasi yang lebih tinggi.
4. Menggunakan metode deposisi *spin coating* agar TiO₂ lebih merata



DAFTAR PUSTAKA

- Adachi, Tetsuya and Hajime Hoshi. 2013. "Preparation and Characterization of Pt/Carbon Counter Electrodes for Dye-Sensitized Solar Cells." *Materials Letters* 94:15–18.
- Anon. n.d. "Indigofera Suffruticosa." *Germplasm Resources Information Network (GRIN)*.
- Awalia, Rezky Nur, Nurhayati HS Arifin, and Kaswanto. 2016. "Kajian Karakter Pembentuk Lanskap Budaya Masyarakat Adat Kajang Di Sulawesi Selatan."
- C. Longo and M. D. Paoli." Dye-sensitized solar cells: a successful combination of materials". *J. Braz. Chem. Soc.*, vol. 14, no. 6, pp. 889-801, Nov/Dec. 2003.
- Dahlan, Dahyunir, Tjiauw Siaw Leng, and Hermansyah Aziz. 2016. "DYE SENSITIZED SOLAR CELLS (DSSC) DENGAN SENSITISER DYE ALAMI DAUN PANDAN, AKAR KUNYIT DAN BIJI BERAS MERAH (BLACK RICE)." *MARET* 8:1.
- Ekasari, Vitriany and Gatut Yudoyono. 2013. "Fabrikasi Dssc Dengan Dye Ekstrak Jahe Merah (Zingiber Officinale Linn Var. Rubrum) Variasi Larutan Tio₂ Nanopartikel Berfase Anatase Dengan Teknik Pelapisan Spin Coating." *Jurnal Sains Dan Seni ITS* 2(1):B15–20.
- G. Calogero, et al. "Solar Energy". 86 1563-1575 (2012)
- Grätzel, Michael. 2003. "Dye-Sensitized Solar Cells." *Journal of Photochemistry and Photobiology C: Photochemistry Reviews* 4:145–53.
- Green, Martin A.. 1982." Solar Cells Operating Principles Technology and System Application". *Prentice Hall. Inc; Evylewood Cliffs N.J*
- Handayani P.A, A. Amar Mualimin. 2013. "PEWARNA ALAMI BATIK DARI TANAMAN NILA (Indigofera) DENGAN METODE PENGASAMAN." *Issn 2303-0623 (Susanto 1973):*1–6.
- Hardeli. 2011." Pembuatan Prototipe Dye Sensitized Solar Cells (DSSC) menggunakan Ubi Jalar Ungu, Wortel dan Kunyit sebagai Sumber Zat Warna". *Padang: UNP*
- Hardali, Suwardani, Riky, T. Fernando, Maulidis and S. Ridwan, "Dye Sensitized Solar Cells (DSSC) Bebrbasis Nanopori TiO₂ Menggunakan Antosianin dari Berbagai Sumber Alami". in Semirata FMIPA. Lampung. 2013.
- Kay, A., Grätzel, M. 1996." Low cost photovoltaic modules based on dye sensitized nanocrystalline titanium dioxide and carbon powder". *Solar Energy Materials & Solar Cells*, 44, 99-117.

- Kumara, Maya Sukma Widya and Gontjang Prajitno. 2012. "Studi Awal Fabrikasi Dye Sensitized Solar Cell (DSSC) Dengan Menggunakan Ekstraksi Daun Bayam (*Amaranthus Hybridus L.*) Sebagai Dye Sensitizer Dengan Variasi Jarak Sumber Cahaya Pada DSSC." *Jurnal Fisika*.
- Kyaw, Aung Ko Ko et al. 2012. "Dye-Sensitized Solar Cell with a Pair of Carbon-Based Electrodes." *Journal of Physics D: Applied Physics* 45(16):165103.
- J. Jitputti, S. Pavasupree, Y. Suzuki, and S. Yoshikawa." Pembuatan Prototipe Dye Sensitized Solar Cells (DSSC) menggunakan Ubi Jalar Ungu, Wortel dan Kunyit sebagai Sumber Zat Warna" *Japanese Journal of Applied Physics*, vol. 47, no. 1, pp. 751- 756.
- Malvino, Albert Paul. 2003. "Prinsip-prinsip Elektronika Jilid 1& 2 Edisi Pertama." *Salemba Teknika : Jakarta*
- Marthua, Nadeak and Diah Susanti. 2012. "Variasi Temperatur Dan Waktu Tahan Kalsinasi Terhadap Unjuk Kerja Semikonduktor TiO₂ Sebagai Dye Sensitized Solar Cell (DSSC) Dengan Dye Dari Ekstrak Buah Naga Merah." *Teknik ITS* 1.
- Muzayyinah. 2012. "Jejak Evolusi Dan Spesiasi Marga Indigofera." *Bioedukasi* 5(1985):1–12.
- Nurhidayah, Sri Rayahu Alfitri Usna, Suwarni, M. Fick. Afrianto, and Farid Faizar. 2017. "PEMBUATAN SEL SURYA TERSENSITASI PEWARNA (SSTP) LAPISAN TiO₂ / GRAFIT DARI EKSTRAK KELOPAK BUNGA ROSELLA , BERAS KETAN." 2:6–10.
- Perlin, John. 2002. *From Space to Earth : The Story of Solar Electricity*. Harvard University Press.
- Rachmawati Ningsih, Erna Hastuti. 2012. "KARAKTERISASI EKSTRAK TEH HITAM DAN TINTA CUMI-CUMI SEBAGAI FOTOSENSITISER PADA SEL SURYA BERBASIS PEWARNA TERSENSITISASI." *Research Collections* 0(0).
- Rakhmat Setiawan. 2017. "Cadangan Energi Indonesia Menipis, Saatnya Melek Energi Terbarukan." Retrieved October 4, 2018 (<https://www.kompasiana.com/cakmat/599aefc15af02c183e6ca1d2/cadangan-energi-indonesia-menipis-saatnya-melek-energi-terbarukan>).
- Salafudin, A., F. Nurosyid, and T. Kusumaningsih. 2017. "OPTIMASI VOLUME PENGENCERAN LARUTAN DYE." 9(2):68–75.
- Saleh, Abdurrahman (Dewan Energi Nasional), ed. 2016. *Content-Indonesia-Energy-Outlook-2015-1vgcv6t.Pdf*. Jakarta Selatan: DEN.
- Smestad dan Gratze. 1998. "Prinsip-prinsip Elektronika Jilid 1& 2 Edisi Pertama." *J. Chem. Educ*, 75, 752-756

- Soutter, Wili. 2012. "Prinsip-prinsip Elektronika Jilid 1& 2 Edisi Pertama.". *Philadephia: Britt Faulstick*
- Suriani, A. B., Fatiatun Mohame, A ., Muqoyyanah, Hasmin, N., Rsmn, M S., Mamat, M.H., Malek M. F., Salifairus, M. J., & Khalil H. P. S .A. 2018. "Prinsip-prinsip Elektronika Jilid 1& 2 Edisi Pertama." *Optik, 139. 2991-298*
- Teguh Wahyu Susanto. 2016. "Prinsip-prinsip Elektronika Jilid 1& 2 Edisi Pertama.". *Universitas Udayana : Denpasar*
- Triana, Aisyah, Chintiyah Dewi, Fitria Romadhoni, Lailatul Qadariyah, and Mahfud. 2018. "No Title." 7(1):124–26.
- Zamrani RA dan Gontjang P. 2013. "Pembuatan dan Karakterisasi Prototipe Dye Sensitized Solar Cell (DSSC) Menggunakan Ekstrak Kulit Buah Manggis sebagai Dye Sensitized dengan Menggunakan Metode Doctor Blade". *Jurnal Sains dan Seni POMITS Vol. 1, No.2 (2013) 2301-928x*
- Zhang, Zhipan. 2008. "Enhancing the Open-Circuit Voltage of Dye-Sensitized Solar Cells."



BIOGRAFI PENULIS



Assalamu'alaikum Warahmatullahi
Wabarakatuh

Nama lengkap penulis Putri Dayana Mursalim akrab disapa Putri atau Pute'. Penulis Lahir pada hari Senin, tanggal 9 Juni 1997 di Takkalasi, Kab. Barru. Penulis merupakan anak pertama dari empat orang bersaudara.

Lahir dari pasangan alm. Mursalim *rahimahullah* dan Nurwanah. Riwayat pendidikan penulis, diawali dari TK Nurul Islam Kapasa, kemudian melanjutkan pendidikan di SD Negeri Kapasa. Setelah tamat kemudian lanjut di SMP Negeri 11 Makassar. Tamat SMP lanjut di SMA Negeri 6 Makassar. Setelah tamat SMA penulis melanjutkan pendidikan ke jenjang lebih tinggi, di Universitas Islam Negeri Alauddin Makassar pada tahun 2015, tepatnya di jurusan Fisika Fakultas Sains dan Teknologi dan aktif di organisasi Lembaga Dakwah Ulil Albaab Fakultas Sains dan Teknologi. Wassalam



LAMPIRAN – LAMPIRAN

UNIVERSITAS ISLAM NEGERI
ALAUDDIN
M A K A S S A R



LAMPIRAN I
HASIL PENGUKURAN I-V DAN
PERHITUNGAN

UNIVERSITAS ISLAM NEGERI
ALAUDDIN
M A K A S S A R

A. Tabel L.5 Data Hasil Analisis J-V Sel DSSC dengan Konsentrasi Dye Daun Tarum 30%

$$A = 1 \text{ cm}^2$$

$$1 \text{ Lux} = 0,000146412884333821 \text{ mW/cm}^2$$

V (V)	J (mA/cm ²)	P (mW/cm ²)	E (Lux)	Pin (mW/cm ²)
0,583	0	0	60600	8,872620528
0,583	0,006	0,003498	60600	8,872620528
0,581	0,006	0,003486	60900	8,916544392
0,579	0,006	0,003474	60900	8,916544392
0,578	0,006	0,003468	60900	8,916544392
0,575	0,006	0,003450	60900	8,916544392
0,573	0,006	0,003438	60900	8,916544392
0,570	0,006	0,003420	60900	8,916544392
0,567	0,006	0,003402	60900	8,916544392
0,565	0,006	0,003390	60900	8,916544392
0,564	0,006	0,003384	60900	8,916544392
0,563	0,006	0,003378	60900	8,916544392
0,561	0,007	0,003927	60900	8,916544392
0,560	0,007	0,003920	60900	8,916544392
0,556	0,007	0,003892	60900	8,916544392
0,552	0,007	0,003864	60900	8,916544392
0,548	0,007	0,003836	60900	8,916544392
0,546	0,007	0,003822	60900	8,916544392
0,544	0,007	0,003808	60900	8,916544392
0,542	0,007	0,003794	60900	8,916544392
0,541	0,007	0,003787	60900	8,916544392
0,537	0,007	0,003759	60900	8,916544392
0,533	0,007	0,003731	60900	8,916544392
0,529	0,008	0,004232	60900	8,916544392
0,525	0,008	0,004200	60900	8,916544392
0,521	0,008	0,004168	60900	8,916544392
0,517	0,008	0,004136	60900	8,916544392
0,514	0,008	0,004112	60900	8,916544392
0,509	0,008	0,004072	60900	8,916544392
0,507	0,008	0,004056	60900	8,916544392
0,505	0,008	0,004040	60900	8,916544392
0,502	0,008	0,004016	60900	8,916544392
0,499	0,008	0,003992	60900	8,916544392
0,496	0,008	0,003968	60900	8,916544392

0,493	0,008	0,003944	60900	8,916544392
0,491	0,008	0,003928	60800	8,901903104
0,487	0,008	0,003896	60600	8,872620528
0,484	0,008	0,003872	60600	8,872620528
0,479	0,008	0,003832	60600	8,872620528
0,476	0,008	0,003808	60600	8,872620528
0,473	0,008	0,003784	60600	8,872620528
0,471	0,008	0,003768	60600	8,872620528
0,469	0,008	0,003752	60500	8,857979240
0,466	0,008	0,003728	60700	8,887261816
0,467	0,008	0,003736	60800	8,901903104
0,456	0,008	0,003648	60700	8,887261816
0,452	0,008	0,003616	60600	8,872620528
0,450	0,008	0,003600	60500	8,857979240
0,447	0,008	0,003576	60700	8,887261816
0,445	0,008	0,003560	60800	8,901903104
0,439	0,008	0,003512	60700	8,887261816
0,433	0,008	0,003464	60600	8,872620528
0,426	0,008	0,003408	60700	8,887261816
0,423	0,008	0,003384	60600	8,872620528
0,421	0,008	0,003368	60600	8,872620528
0,417	0,009	0,003753	60600	8,872620528
0,413	0,009	0,003717	60600	8,872620528
0,410	0,009	0,003690	60600	8,872620528
0,408	0,009	0,003672	60600	8,872620528
0,406	0,009	0,003654	60600	8,872620528
0,401	0,009	0,003609	60600	8,872620528
0,392	0,009	0,003528	60600	8,872620528
0,386	0,009	0,003474	60700	8,887261816
0,384	0,009	0,003456	60500	8,857979240
0,382	0,009	0,003438	60600	8,872620528
0,379	0,009	0,003411	60700	8,887261816
0,373	0,009	0,003357	60700	8,887261816
0,353	0,010	0,003530	60700	8,887261816
0,342	0,010	0,003420	60500	8,857979240
0,334	0,010	0,003340	60600	8,872620528
0,322	0,011	0,003542	60500	8,857979240
0,320	0,011	0,003520	60500	8,857979240
0,318	0,011	0,003498	60500	8,857979240
0,317	0,011	0,003487	60700	8,887261816
0,308	0,011	0,003388	60600	8,872620528

0,293	0,013	0,003809	60500	8,857979240
0,277	0,013	0,003601	60500	8,857979240
0,266	0,013	0,003458	60600	8,872620528
0,263	0,013	0,003419	60500	8,857979240
0,261	0,013	0,003393	60500	8,857979240
0,256	0,013	0,003328	60300	8,828696664
0,244	0,014	0,003416	60400	8,843337952
0,224	0,015	0,003360	60400	8,843337952
0,212	0,015	0,003180	60600	8,872620528
0,209	0,015	0,003135	60500	8,857979240
0,203	0,015	0,003045	60600	8,872620528
0,191	0,015	0,002865	60600	8,872620528
0,156	0,017	0,002652	60400	8,843337952
0,139	0,018	0,002502	60600	8,872620528
0,118	0,018	0,002124	60300	8,828696664
0,108	0,019	0,002052	60500	8,857979240
0,098	0,019	0,001862	60500	8,857979240
0,078	0,020	0,001560	60500	8,857979240
0,061	0,020	0,001220	60500	8,857979240
0,045	0,020	0,000900	60500	8,857979240
0,014	0,021	0,000294	60400	8,843337952
0,005	0,021	0,000105	60400	8,843337952
0,004	0,021	0,000084	60400	8,843337952
0,003	0,021	0,000063	60400	8,843337952
0	0,021	0,000000	60400	8,843337952
Pmaks		0,004232		

UNIVERSITAS ISLAM NEGERI
ALAUDDIN
 MAKASSAR

B. Tabel L.6 Data Hasil Analisis J-V Sel DSSC dengan Konsentrasi *Dye* Daun Tarum 50%

$$A = 1 \text{ cm}^2$$

$$1 \text{ Lux} = 0,000146412884333821 \text{ mW/cm}^2$$

V (V)	J (mA/cm ²)	P (mW/cm ²)	E (Lux)	Pin (mW/cm ²)
0,566	0,000	0,000000	58100	8,50658858
0,566	0,005	0,002830	58100	8,50658858
0,565	0,005	0,002825	58000	8,49194729
0,564	0,005	0,002820	58000	8,49194729
0,561	0,005	0,002805	58200	8,52122987
0,559	0,006	0,003354	58000	8,49194729
0,557	0,006	0,003342	58100	8,50658858
0,556	0,006	0,003336	58100	8,50658858
0,553	0,006	0,003318	58000	8,49194729
0,550	0,007	0,003850	58000	8,49194729
0,548	0,007	0,003836	58000	8,49194729
0,546	0,007	0,003822	58000	8,49194729
0,545	0,007	0,003815	58000	8,49194729
0,542	0,007	0,003794	57900	8,47730600
0,541	0,007	0,003787	58100	8,50658858
0,539	0,007	0,003773	58200	8,52122987
0,538	0,008	0,004304	58200	8,52122987
0,537	0,008	0,004296	58100	8,50658858
0,535	0,008	0,004280	58100	8,50658858
0,533	0,008	0,004264	58100	8,50658858
0,531	0,008	0,004248	58200	8,52122987
0,528	0,008	0,004224	58100	8,50658858
0,527	0,008	0,004216	58000	8,49194729
0,526	0,008	0,004208	58100	8,50658858
0,524	0,008	0,004192	58100	8,50658858
0,523	0,008	0,004184	58200	8,52122987
0,521	0,008	0,004168	58100	8,50658858
0,520	0,008	0,004160	58100	8,50658858
0,519	0,008	0,004152	58100	8,50658858
0,518	0,009	0,004662	58200	8,52122987
0,517	0,009	0,004653	58200	8,52122987
0,516	0,009	0,004644	58300	8,53587116
0,515	0,009	0,004635	58200	8,52122987
0,514	0,009	0,004626	58200	8,52122987
0,513	0,009	0,004617	58100	8,50658858
0,512	0,009	0,004608	58100	8,50658858
0,510	0,009	0,004590	58300	8,53587116
0,509	0,009	0,004581	58100	8,50658858
0,508	0,009	0,004572	58200	8,52122987

0,507	0,009	0,004563	58300	8,53587116
0,506	0,009	0,004554	58200	8,52122987
0,505	0,009	0,004545	58300	8,53587116
0,503	0,009	0,004527	58300	8,53587116
0,502	0,009	0,004518	58300	8,53587116
0,501	0,009	0,004509	58200	8,52122987
0,500	0,009	0,004500	58200	8,52122987
0,499	0,009	0,004491	58200	8,52122987
0,497	0,009	0,004473	58200	8,52122987
0,496	0,009	0,004464	58300	8,53587116
0,494	0,009	0,004446	58200	8,52122987
0,492	0,009	0,004428	58200	8,52122987
0,491	0,010	0,004910	58300	8,53587116
0,490	0,010	0,004900	58200	8,52122987
0,489	0,010	0,004890	58200	8,52122987
0,487	0,010	0,004870	58200	8,52122987
0,486	0,010	0,004860	58300	8,53587116
0,485	0,010	0,004850	58300	8,53587116
0,483	0,010	0,004830	58200	8,52122987
0,482	0,010	0,004820	58200	8,52122987
0,480	0,010	0,004800	58100	8,50658858
0,478	0,010	0,004780	58200	8,52122987
0,477	0,010	0,004770	58200	8,52122987
0,476	0,010	0,004760	58300	8,53587116
0,474	0,010	0,004740	58300	8,53587116
0,472	0,010	0,004720	58100	8,50658858
0,471	0,010	0,004710	58000	8,49194729
0,470	0,010	0,004700	58300	8,53587116
0,468	0,010	0,004680	58200	8,52122987
0,467	0,010	0,004670	58200	8,52122987
0,465	0,010	0,004650	58200	8,52122987
0,463	0,010	0,004630	58300	8,53587116
0,461	0,011	0,005071	58200	8,52122987
0,457	0,011	0,005027	58300	8,53587116
0,456	0,011	0,005016	58300	8,53587116
0,455	0,011	0,005005	58200	8,52122987
0,452	0,011	0,004972	58200	8,52122987
0,450	0,011	0,004950	58300	8,53587116
0,448	0,011	0,004928	58200	8,52122987
0,446	0,011	0,004906	58100	8,50658858
0,443	0,011	0,004873	58100	8,50658858

0,440	0,011	0,004840	58100	8,50658858
0,435	0,012	0,005220	58300	8,53587116
0,433	0,012	0,005196	58200	8,52122987
0,430	0,012	0,005160	58300	8,53587116
0,426	0,012	0,005112	58200	8,52122987
0,422	0,012	0,005064	58400	8,55051245
0,418	0,012	0,005016	58400	8,55051245
0,417	0,012	0,005004	58500	8,56515373
0,414	0,012	0,004968	58300	8,53587116
0,411	0,013	0,005343	58300	8,53587116
0,407	0,013	0,005291	58300	8,53587116
0,402	0,013	0,005226	58400	8,55051245
0,396	0,014	0,005544	58400	8,55051245
0,391	0,014	0,005474	58500	8,56515373
0,387	0,014	0,005418	58500	8,56515373
0,385	0,014	0,005390	58500	8,56515373
0,381	0,014	0,005334	58400	8,55051245
0,376	0,014	0,005264	58400	8,55051245
0,374	0,014	0,005236	58400	8,55051245
0,379	0,014	0,005306	58400	8,55051245
0,378	0,014	0,005292	58400	8,55051245
0,377	0,014	0,005278	58400	8,55051245
0,376	0,014	0,005264	58400	8,55051245
0,375	0,014	0,005250	58400	8,55051245
0,365	0,014	0,005110	58200	8,52122987
0,358	0,015	0,005370	58400	8,55051245
0,353	0,015	0,005295	58600	8,57979502
0,351	0,015	0,005265	58400	8,55051245
0,343	0,015	0,005145	58400	8,55051245
0,338	0,015	0,005070	58400	8,55051245
0,335	0,016	0,005360	58800	8,60907760
0,329	0,016	0,005264	58400	8,55051245
0,324	0,016	0,005184	58400	8,55051245
0,319	0,016	0,005104	58400	8,55051245
0,313	0,017	0,005321	58300	8,53587116
0,308	0,017	0,005236	58300	8,53587116
0,303	0,017	0,005151	58500	8,56515373
0,297	0,018	0,005346	58400	8,55051245
0,291	0,018	0,005238	58400	8,55051245
0,286	0,018	0,005148	58400	8,55051245
0,277	0,019	0,005263	58400	8,55051245

0,273	0,019	0,005187	58400	8,55051245
0,268	0,019	0,005092	58400	8,55051245
0,262	0,020	0,005240	58300	8,53587116
0,255	0,020	0,005100	58400	8,55051245
0,245	0,020	0,004900	58400	8,55051245
0,236	0,021	0,004956	58200	8,52122987
0,230	0,021	0,004830	58300	8,53587116
0,217	0,022	0,004774	58200	8,52122987
0,205	0,023	0,004715	58500	8,56515373
0,195	0,023	0,004485	58300	8,53587116
0,186	0,024	0,004464	58300	8,53587116
0,183	0,024	0,004392	58400	8,55051245
0,181	0,024	0,004344	58300	8,53587116
0,180	0,024	0,004320	58300	8,53587116
0,157	0,026	0,004082	58300	8,53587116
0,138	0,026	0,003588	58300	8,53587116
0,123	0,029	0,003567	58300	8,53587116
0,096	0,030	0,002880	58300	8,53587116
0,090	0,030	0,002700	58300	8,53587116
0,078	0,030	0,002340	58300	8,53587116
0,054	0,033	0,001782	58300	8,53587116
0,032	0,033	0,001056	58300	8,53587116
0,009	0,035	0,000315	58200	8,52122987
0,007	0,035	0,000245	58200	8,52122987
0,000	0,035	0,000000	58200	8,52122987
P maks		0,005544		

C. Tabel L.7 Data Hasil Analisis J-V Sel DSSC dengan Konsentrasi *Dye* Daun Tarum 70%

$$A = 1 \text{ cm}^2$$

$$1 \text{ Lux} = 0,000146412884333821 \text{ mW/cm}^2$$

V (V)	J (mA/cm ²)	P (mW/cm ²)	E (Lux)	Pin (mW/cm ²)
0,592	0	0	57800	8,462664714
0,592	0,006	0,003552	57700	8,448023426
0,591	0,006	0,003546	57800	8,462664714
0,590	0,006	0,003540	57600	8,433382138
0,589	0,006	0,003534	57700	8,448023426

0,588	0,007	0,004116	57700	8,448023426
0,587	0,007	0,004109	57700	8,448023426
0,586	0,007	0,004102	57600	8,433382138
0,585	0,007	0,004095	57600	8,433382138
0,584	0,008	0,004672	57600	8,433382138
0,583	0,008	0,004664	57700	8,448023426
0,582	0,008	0,004656	57800	8,462664714
0,581	0,008	0,004648	57700	8,448023426
0,580	0,008	0,004640	57800	8,462664714
0,579	0,009	0,005211	57600	8,433382138
0,578	0,009	0,005202	57700	8,448023426
0,577	0,009	0,005193	57500	8,418740849
0,575	0,009	0,005175	57600	8,433382138
0,574	0,010	0,005740	57600	8,433382138
0,573	0,010	0,005730	57500	8,418740849
0,568	0,011	0,006248	57600	8,433382138
0,567	0,012	0,006804	57500	8,418740849
0,565	0,012	0,006780	57500	8,418740849
0,564	0,012	0,006768	57600	8,433382138
0,563	0,012	0,006756	57600	8,433382138
0,560	0,013	0,007280	57600	8,433382138
0,557	0,013	0,007241	57500	8,418740849
0,552	0,015	0,008280	57500	8,418740849
0,551	0,016	0,008816	57500	8,418740849
0,550	0,016	0,008800	57500	8,418740849
0,549	0,016	0,008784	57600	8,433382138
0,544	0,018	0,009792	57600	8,433382138
0,540	0,019	0,010260	57600	8,433382138
0,534	0,021	0,011214	57700	8,448023426
0,531	0,021	0,011151	57500	8,418740849
0,530	0,021	0,011130	57500	8,418740849
0,529	0,021	0,011109	57500	8,418740849
0,527	0,022	0,011594	57800	8,462664714
0,524	0,023	0,012052	57400	8,404099561
0,519	0,023	0,011937	57600	8,433382138
0,514	0,026	0,013364	57500	8,418740849
0,509	0,030	0,015270	57500	8,418740849
0,499	0,030	0,014970	57600	8,433382138
0,494	0,032	0,015808	57400	8,404099561
0,490	0,036	0,017640	57400	8,404099561
0,480	0,036	0,017280	57400	8,404099561

0,467	0,041	0,019147	57500	8,418740849
0,459	0,043	0,019737	57500	8,418740849
0,452	0,045	0,020340	57500	8,418740849
0,449	0,045	0,020205	57500	8,418740849
0,447	0,045	0,020115	57600	8,433382138
0,446	0,045	0,020070	57600	8,433382138
0,445	0,045	0,020025	57600	8,433382138
0,444	0,046	0,020424	57600	8,433382138
0,435	0,055	0,023925	57500	8,418740849
0,405	0,064	0,025920	57500	8,418740849
0,388	0,064	0,024832	57600	8,433382138
0,358	0,076	0,027208	57500	8,418740849
0,345	0,090	0,031050	57500	8,418740849
0,301	0,098	0,029498	57500	8,418740849
0,254	0,117	0,029718	57400	8,404099561
0,231	0,124	0,028644	57500	8,418740849
0,206	0,134	0,027604	57500	8,418740849
0,147	0,159	0,023373	57500	8,418740849
0,133	0,158	0,021014	57400	8,404099561
0,130	0,156	0,020280	57400	8,404099561
0,093	0,175	0,016275	57400	8,404099561
0,060	0,182	0,010920	57400	8,404099561
0,054	0,182	0,009828	57400	8,404099561
0	0,182	0	57400	8,404099561
P maks		0,031050		

D. Tabel L.8 Data Hasil Analisis J-V Sel DSSC dengan Konsentrasi Dye Daun Tarum 100%

$$A = 1 \text{ cm}^2$$

$$1 \text{ Lux} = 0,000146412884333821 \text{ mW/cm}^2$$

V (V)	J (mA/cm ²)	P (mW/cm ²)	E (Lux)	Pin (mW/cm ²)
0,405	0	0	55500	8,125915081
0,405	0,004	0,001620	55500	8,125915081
0,404	0,004	0,001616	55500	8,125915081
0,401	0,004	0,001604	55500	8,125915081
0,399	0,004	0,001596	55500	8,125915081
0,397	0,004	0,001588	55500	8,125915081
0,396	0,004	0,001584	55500	8,125915081
0,394	0,005	0,001970	55500	8,125915081

0,392	0,005	0,001960	55500	8,125915081
0,391	0,005	0,001955	55500	8,125915081
0,390	0,005	0,001950	55400	8,111273792
0,389	0,005	0,001945	55400	8,111273792
0,388	0,005	0,001940	55400	8,111273792
0,386	0,006	0,002316	55500	8,125915081
0,385	0,006	0,002310	55500	8,125915081
0,383	0,007	0,002681	55400	8,111273792
0,380	0,007	0,002660	55500	8,125915081
0,379	0,007	0,002653	55400	8,111273792
0,378	0,007	0,002646	55200	8,081991215
0,377	0,007	0,002639	55500	8,125915081
0,376	0,008	0,003008	55300	8,096632504
0,374	0,008	0,002992	55300	8,096632504
0,373	0,008	0,002984	55500	8,125915081
0,371	0,008	0,002968	55400	8,111273792
0,370	0,009	0,003330	55400	8,111273792
0,368	0,009	0,003312	55400	8,111273792
0,367	0,009	0,003303	55400	8,111273792
0,364	0,009	0,003276	55500	8,125915081
0,363	0,009	0,003267	55500	8,125915081
0,361	0,009	0,003249	55400	8,111273792
0,357	0,010	0,003570	55500	8,125915081
0,354	0,010	0,003540	55500	8,125915081
0,351	0,010	0,003510	55500	8,125915081
0,347	0,012	0,004164	55500	8,125915081
0,343	0,012	0,004116	55500	8,125915081
0,340	0,013	0,004420	55400	8,111273792
0,335	0,014	0,004690	55300	8,096632504
0,330	0,015	0,004950	55300	8,096632504
0,327	0,015	0,004905	55400	8,111273792
0,323	0,016	0,005168	55400	8,111273792
0,319	0,016	0,005104	55400	8,111273792
0,317	0,017	0,005389	55500	8,125915081
0,314	0,017	0,005338	55700	8,155197657
0,311	0,017	0,005287	55500	8,125915081
0,305	0,018	0,005490	55400	8,111273792
0,308	0,019	0,005852	55300	8,096632504
0,300	0,020	0,006000	55400	8,111273792
0,294	0,021	0,006174	55400	8,111273792
0,284	0,022	0,006248	55400	8,111273792

0,277	0,024	0,006648	55500	8,125915081
0,270	0,025	0,006750	55400	8,111273792
0,266	0,026	0,006916	55500	8,125915081
0,265	0,026	0,006890	55500	8,125915081
0,264	0,026	0,006864	55500	8,125915081
0,250	0,029	0,007250	55400	8,111273792
0,216	0,029	0,006264	55500	8,125915081
0,197	0,037	0,007289	55300	8,096632504
0,122	0,060	0,007320	55900	8,184480234
0,089	0,062	0,005518	55900	8,184480234
0,072	0,062	0,004464	55900	8,184480234
0,044	0,064	0,002816	55400	8,111273792
0,017	0,073	0,001241	55400	8,111273792
0,000	0,073	0,000000	55400	8,111273792
P maks		0,007320		

E. Tabel L.9 Hasil Efisiensi Sel DSSC Menggunakan *Dye* Daun Tarum sebagai *Sensitizer*

$$A = 1 \text{ cm}^2$$

Konsentrasi (%)	Voc (V)	Jsc (mA/cm ²)	Vmax (V)	Jmax (mA/cm ²)	P out (mW/cm ²)	P in (mW/cm ²)	FF	n (%)
30	0,583	0,021	0,529	0,008	0,004232	8,916544	0,34567	0,04746
50	0,566	0,035	0,396	0,014	0,005544	8,550512	0,27986	0,06484
70	0,592	0,182	0,345	0,090	0,031050	8,418741	0,28818	0,36882
100	0,405	0,073	0,122	0,060	0,007320	8,184480	0,24759	0,08944

Persamaan yang digunakan :

$$1. J = \frac{I}{A}$$

$$2. FF = \frac{V_{maks} \times I_{maks}}{V_{oc} \times I_{sc}}$$

$$3. P_{out} = V_{maks} \times I_{maks}$$

$$4. P_{in} = E_{maks} \times 0,000146412884333821 \frac{\text{mW}}{\text{cm}^2}$$

$$5. \eta = \frac{P_{out}}{P_{in}}$$





LAMPIRAN II

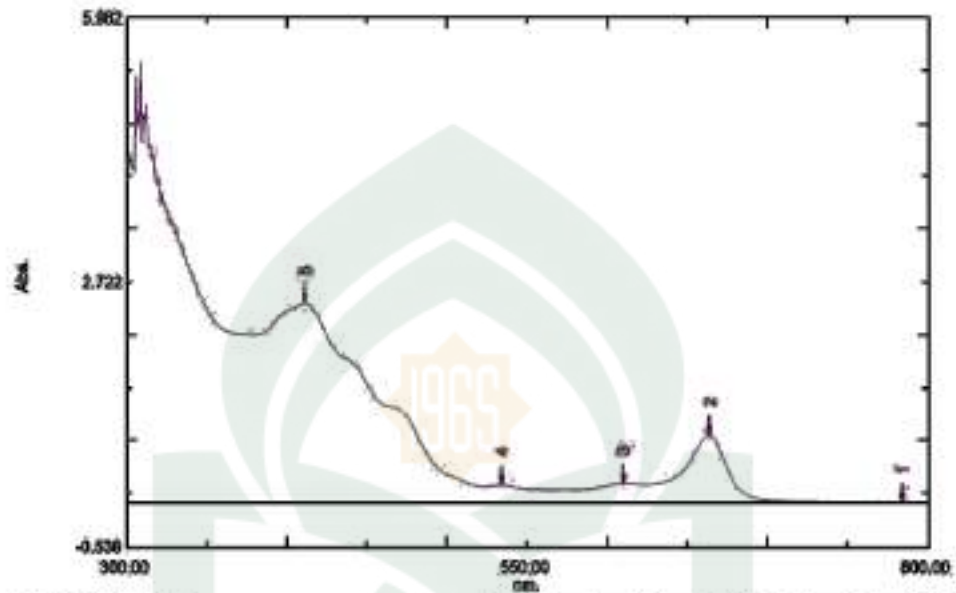
HASIL UJI UV-VIS

UNIVERSITAS ISLAM NEGERI
ALAUDDIN
M A K A S S A R

Spectrum Peak Pick Report

09/21/2018 08:45:26 AM

Data Set: DTK 30%.spc - RawData



[Measurement Properties]
 Wavelength Range (nm): 300.00 to 800.00
 Scan Speed: Medium
 Sampling Interval: 0.5
 Auto Sampling Interval: Enabled
 Scan Mode: Single

No.	PV	Wavelength	Abs.	Description
1	●	764.00	0.006	
2	●	663.90	0.831	
3	●	610.00	0.242	
4	●	534.50	0.222	
5	●	411.90	2.454	

[Instrument Properties]
 Instrument Type: UV-2500 Series
 Measuring Mode: Absorbance
 Slit Width: 0.2
 Accumulation time: 0.2 sec.
 Light Source Change Wavelength: 323.0 nm
 Detector Unit: Direct
 S/R Exchange: Normal
 Slit Correction: OFF

[Attachment Properties]
 Attachment: None

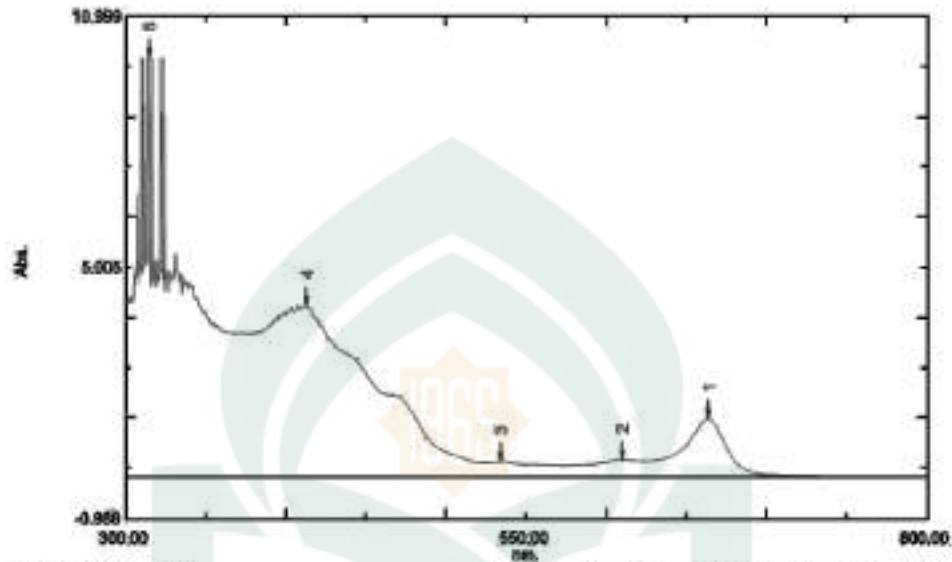
[Operation]
 Threshold: 0.0010000
 Points: 4
 InterPoint: Disabled
 Average: Disabled

[Sample Preparation Properties]
 Weight:
 Volume:
 Dilution:
 Path Length:
 Additional Information:

Spectrum Peak Pick Report

09/21/2018 05:46:07 AM

Data Set: DTK 50%.spc - RawData



[Measurement Properties]
 Wavelength Range (nm): -300.00 to 800.00
 Scan Speed: Medium
 Sampling Interval: 0.5
 Auto Sampling Interval: Enabled
 Scan Mode: Single

[Instrument Properties]
 Instrument Type: UV-2550 Series
 Measuring Mode: Absorbance
 slit Width: 0.2
 Accumulation time: 0.2 sec.
 Light Source Change Wavelength: 323.0 nm
 Detector Unit: Direct
 S/R Exchange: Normal
 Slit Correction: OFF

[Attachment Properties]
 Attachment: None

[Operator]
 Threshold: 0.0010000
 Points: 4
 InterPoints: Disabled
 Average: Disabled

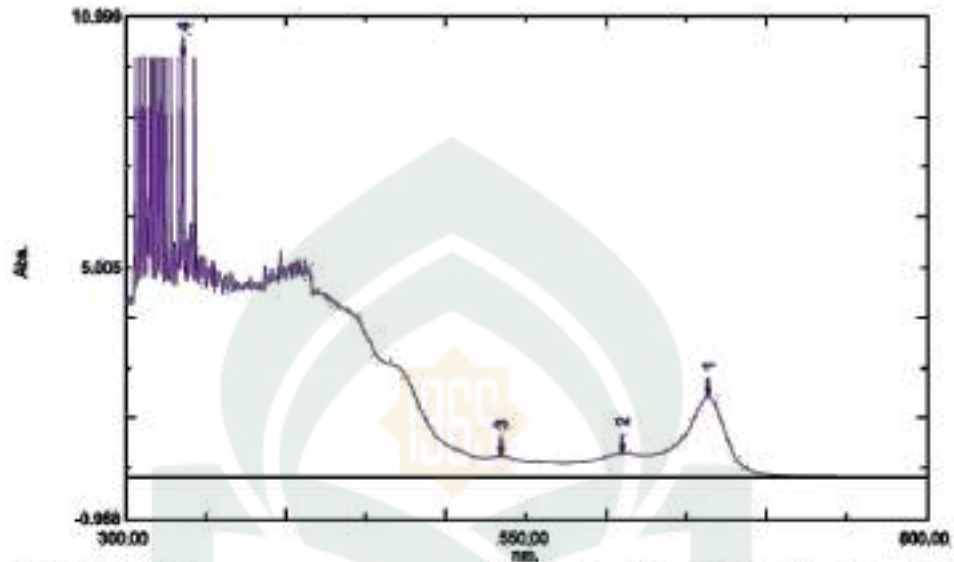
[Sample Preparation Properties]
 Weight:
 Volume:
 Dilution:
 Path Length:
 Additional Information:

No.	P/P	Wavelength	Abs.	Description
1	0	663.90	1.372	
2	0	610.90	6.408	
3	0	534.90	0.374	
4	0	412.90	4.094	
5	0	314.90	10.000	

Spectrum Peak Pick Report

09/21/2018 08:48:52 AM

Data Set: DTK 70%.spc - RawData



[Measurement Properties]
 Wavelength Range (nm): 300.00 to 800.00
 Scan Speed: Medium
 Sampling Interval: 0.5
 Auto Sampling Interval: Enabled
 Scan Mode: Single

No.	PV	Wavelength	Abs.	Description
1	●	664.00	1.808	
2	●	610.90	0.523	
3	●	534.00	0.502	
4	●	336.50	10.000	

[Instrument Properties]
 Instrument Type: UV-2800 Series
 Measuring Mode: Absorbance
 Slit Width: 0.2
 Accumulation time: 0.2 sec.
 Light Source Change Wavelength: 323.0 nm
 Detector Unit: Direct
 SRT Exchange: Normal
 Slit Collector: OFF

[Attachment Properties]
 Attachment: None

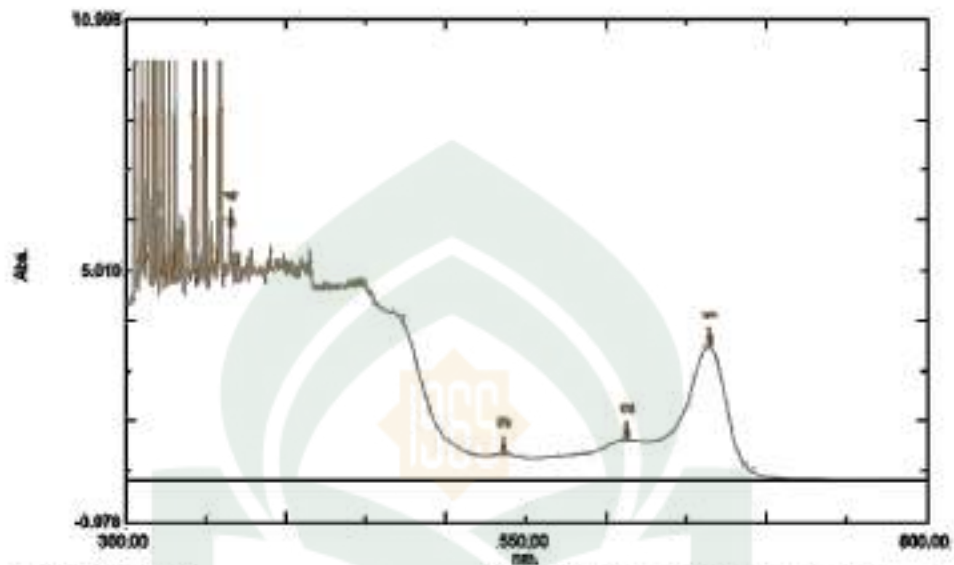
[Operator]
 Threshold: 0.0010000
 Points: 4
 Interpolate: Disabled
 Average: Disabled

[Sample Preparation Properties]
 Weight:
 Volume:
 Dilution:
 Path Length:
 Additional Information:

Spectrum Peak Pick Report

09/21/2018 08:47:30 AM

Data Set: DTK 100%.spc - RawData



[Measurement Properties]
 Wavelength Range (nm): 300.00 to 800.00
 Scan Speed: Medium
 Sampling Interval: 0.5
 Auto Sampling Interval: Enabled
 Scan Mode: Single

No.	PV	Wavelength (nm)	Abs.	Description
1	●	604.50	3.217	
2	●	612.50	0.928	
3	●	536.00	0.634	
4	●	395.50	8.041	

[Instrument Properties]
 Instrument Type: UV-2000 Series
 Measuring Mode: Absorbance
 slit Width: 0.2
 Accumulation time: 0.2 sec.
 Light Source Change Wavelength: 323.0 nm
 Detector Unit: Direct
 GFI Exchange: Normal
 Star Connector: OFF

[Attachment Properties]
 Attachment: None

[Operation]
 Threshold: 0.0010000
 Points: 4
 InterPoint: Disabled
 Average: Disabled

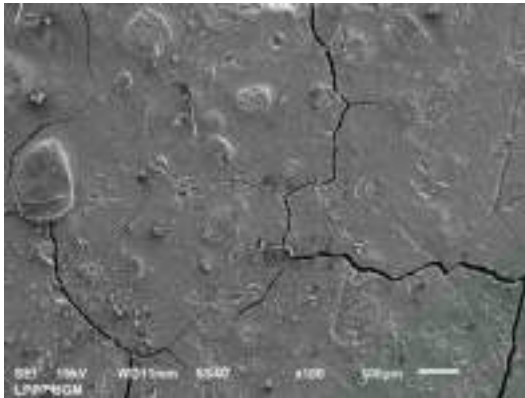
[Sample Preparation Properties]
 Weight:
 Volume:
 Dilutor:
 Path Length:
 Additional Information:



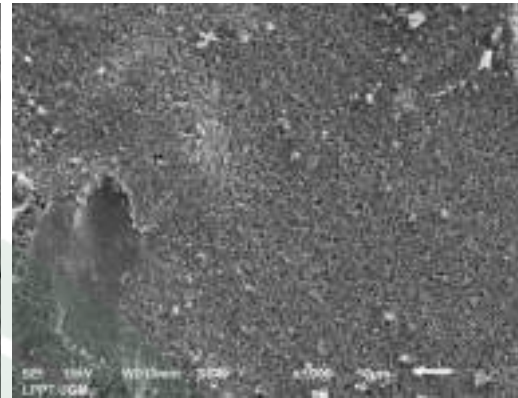
LAMPIRAN III
HASIL UJI SEM

UNIVERSITAS ISLAM NEGERI
ALAUDDIN
M A K A S S A R

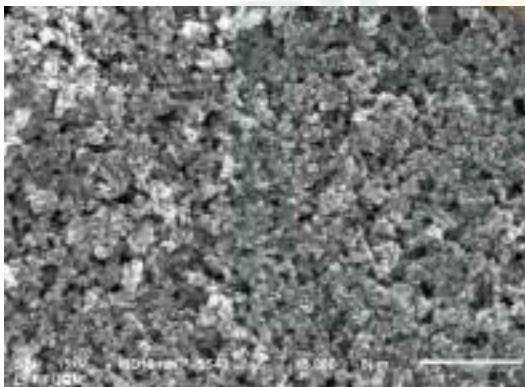
Hasil uji SEM elektroda TiO_2 yang telah direndam dengan ekstrak *dye* Daun Tarum konsentrasi 70%



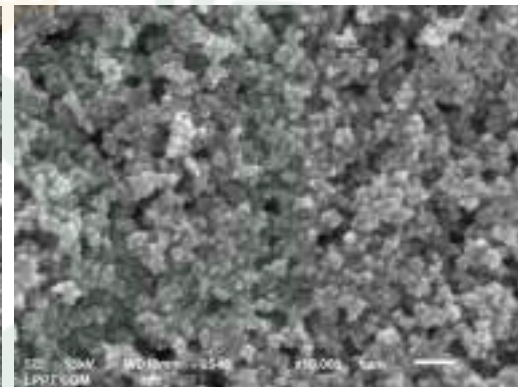
Perbesaran 100x



Perbesaran 1000x



Perbesaran 5000x



Perbesaran 10000x



LAMPIRAN V
DOKUMENTASI PENELITIAN

UNIVERSITAS ISLAM NEGERI
ALAUDDIN
M A K A S S A R

A. Tahap Pengambilan Sampel`



Gambar L.1: Observasi Sampel



Gambar L.2: Morfologi Daun Tarum



Gambar L.3: Memetik Sampel



Gambar L.4: Mengeringkan Sampel



Gambar L5: Menghaluskan Sampel



Gambar L.6: Serbuk Daun Tarum

B. Tahap Meserasi



Gambar L7: Menimbang Sampel



Gambar L8: Merendam Sampel dengan Etanol 96%



(a)

(b)

Gambar L.9: (a) & (b) Menyaring Maserat

C. Tahap Evaporasi



Gambar L.10: Evaporasi Maserat



Gambar L.11: Menimbang Ekstrak Daun Tarum



Gambar L.12: Ekstrak *Dye* Daun Tarum

D. Tahap Pembuatan Konsentrasi Sampel



Gambar L.13: Menimbang ekstrak



Gambar L.14: Konsentrasi 30%



Gambar L.15: Konsentrasi 50%



Gambar L.16: Konsentrasi 70%

E. Pengujian UV-Vis



Gambar L.17: Pengenceran Ekstrak



Gambar L.18: Sampel Hasil Pengenceran



Gambar L.19: Proses Pengujian



Gambar L.20: Kuvet UV-Vis

F. Tahap Pendeposisian, Perendaman dan Pembakaran

Gambar L.21: Bubuk TiO_2 (PA)Gambar L.22: Pembuatan Pasta TiO_2



Gambar L.23: Mengukur Resistansi Kaca ITO



Gambar L.24: Area Deposisi



Gambar L.25: Mendeposisikan TiO_2



Gambar L.26: Mendeposisikan TiO_2 pada Kaca ITO dengan Metode *Doctor Blade*



Gambar L.27: Hasil Deposisi



Gambar L.28:Menyinteling kaca



Gambar L.29:Merendam Elektroda TiO_2 pada *dye*



Gambar L.30:Pembakaran Kaca



Gambar L.31:Hasil Perendaman pada *Dye* dan Hasil Pembakaran



Gambar L.32: Sel DSSC

G. Tahap Pembuatan Larutan Elektrolit

Gambar L.29 Iodin (I_2)

Gambar L.30: Kalium Iodida (KI)



Gambar L.33: Menimbang KI

Gambar L.34: Menimbang I_2 

Gambar L.35: Mengaduk dan Menghomogenkan kemudian Menyimpan pada Wadah yang Gelap

H. Pengujian Sel



Gambar L.36 : Sel yang Telah Ditetesi Larutan Elektrolit



Gambar L.37 : Rangkaian Pengujian Sel DSSC

ALAUDDIN
MAKASSAR



Gambar L.38 : Pengujian Sel



Gambar L.39 : Pengujian Sel DSSC



Gambar L.40 : Pengujian Sel DSSC



Gambar L.41 : Pengujian Sel



Gambar L.42 : Diskusi dan Bimbingan



Gambar L.43 : Diskusi dan Bimbingan